

# Dekompozycja funkcji boolowskich

TADEUSZ ŁUBA

FUNKCJA BOOLOWSKA , UKŁADY KOMBINACYJNE, MINIMALIZACJA, REDUKCJA ARGUMENTÓW,  
DEKOMPOZYCJA FUNKCJONALNA I LINIOWA, ANALIZA DANYCH, REDUKCJA ATRYBUTÓW

Rewolucyjny rozwój technologii mikroelektronicznych spowodował, że projektowanie systemów cyfrowych może być realizowane wyłącznie za pomocą komputerowych narzędzi projektowania przystosowanych do przetwarzania dużych ilości różnorodnych danych. Celem materiałów dydaktycznych jest omówienie zaawansowanych metod syntezy logicznej niezbędnych zarówno w projektowaniu systemów cyfrowych jak też w analizie i eksploracji danych. Dlatego głównymi zagadnieniami omawianymi w materiałach są metody minimalizacji i dekompozycji funkcji boolowskich, jak też redukcja atrybutów i indukcja reguł decyzyjnych. Takie ujęcie tych zagadnień jest zgodne z pilną potrzebą ważnych zastosowań takich jak: dystrybucja adresów IP, skanowanie wirusów, wykrywanie niepożądanych danych, itp. Nie mniejsze potrzeby stosowania zaawansowanych metod syntezy logicznej dotyczą analizy i eksploracji danych. Inaczej mówiąc celem tego podręcznika jest przygotowanie przyszłych inżynierów do umiejętnego wykorzystania ogromnego potencjału syntezy logicznej o czym świadczą wyniki prezentowanych metod i algorytmów.

# Spis treści

Spis treści .....	1
1 Dekompozycja funkcji boolowskich.....	2
1.1 Metoda klasyczna.....	2
1.2 Dekompozycja funkcjonalna metodą rachunku podziałów.....	5
1.2.1 Dekompozycja funkcjonalna – model podstawowy.....	5
1.2.2 Dekompozycja zespołów funkcji boolowskich .....	13
1.2.3 Pojęcie $r$ -przydatności i dekompozycja nierozłączna .....	17
1.3 Dekompozycja funkcjonalna – model ogólny .....	29
1.4 Dekompozycja liniowa .....	38
1.5 Zadania.....	50
1.6 Bibliografia .....	51

# 1 Dekompozycja funkcji boolowskich

## 1.1 Metoda klasyczna

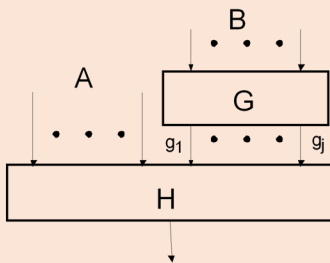
Niech będzie dana funkcja boolowska  $f: \{0, 1\}^n \rightarrow \{0, 1\}$  oraz pewien podział zmiennych  $X = \{x_1, \dots, x_n\}$  na dwa rozłączne zbiory  $B$  (*bound set*) i  $A$  (*free set*). Tablicą dekompozycji funkcji  $f$  (*decomposition chart*) nazywamy macierz dwuwymiarową o kolumnach etykietowanych wartościami zmiennych funkcji  $f$  ze zbioru  $B$  oraz o wierszach etykietowanych wartościami zmiennych funkcji  $f$  ze zbioru  $A$ . Elementami macierzy  $M$  są wartości, jakie przyjmuje funkcja  $f$  na wektorach złożonych z odpowiednich etykiet  $i$ -tego wiersza i  $j$ -tej kolumny. Liczbę istotnie różnych kolumn tej macierzy ze względu na ich zawartość oznaczamy symbolem  $v(A|B)$  (*column multiplicity*).

### TWIERDZENIE 3.1 [3.5].

Niech będzie dana funkcja boolowska  $f$  oraz podział zbioru zmiennych wejściowych funkcji  $f$  na dwa rozłączne zbiory  $A$  i  $B$ , wówczas:

$$f(A,B) = h(A, g_1(B), \dots, g_j(B)) \Leftrightarrow v(A|B) \leq 2^j$$

Schemat takiej dekompozycji jest przedstawiony na rys. 3.1.



Rys. 1.1. Schemat blokowy dekompozycji funkcjonalnej

Twierdzenie powyższe można uogólnić na przypadek zespołów funkcji. Niech będzie dana rodzina funkcji boolowskich  $F$ , wówczas:

$$F(A,B) = H(A, G(B)) \text{ dla } G(B) = (g_1(B), \dots, g_j(B)) \Leftrightarrow v(A|B) \leq 2^j$$

Dla funkcji z tablicy 3.1 kolumny są adresowane trzema zmiennymi  $\{x_1, x_2, x_3\}$  względem których funkcja  $f$  jest symetryczna. Wiersze natomiast są adresowane zmiennymi  $\{x_4, x_5\}$ .

Tablica 1.1

		$x_1x_2x_3$							
		000	001	010	100	110	101	011	111
$x_4x_5$	00	1	1	1	1	0	0	0	0
	01	0	1	1	1	0	0	0	0
	10	0	0	0	0	0	0	0	0
	11	0	0	0	0	1	1	1	0

Grupy kolumn o adresach  $\{(001), (010), (100)\}$  i  $\{(110), (101), (011)\}$  są odpowiednio równe. Zatem istnieje dekompozycja, w której zmienne  $\{x_1, x_2, x_3\}$  są przeadresowywane na  $\{g_1, g_2\}$  (tablica 3.2a).

Wówczas funkcja  $f$  może być specyfikowana w tablicy, w której adresami kolumn są  $\{g_1, g_2\}$ , a wierszy odpowiednio wartości zmiennych  $\{x_4, x_5\}$  (patrz tablica 3.2b). Tablice te są jednocześnie tablicami prawdy funkcji reprezentujących składowe dekompozycji, tzn. bloki  $G$  i  $H$ .

Tablica 1.2

<b>a)</b>				
$x_1$	$x_2$	$x_3$	$g_1$	$g_2$
0	0	0	0	0
0	0	1	0	1
0	1	0	0	1
1	0	0	0	1
1	1	0	1	0
1	0	1	1	0
0	1	1	1	0

<b>b)</b>					
		$g_1g_2$			
		00	01	10	11
$x_4x_5$	00	1	1	0	0
	01	0	1	0	0
	10	0	0	0	0
	11	0	0	1	0

Niestety postępowanie takie w ogólnym przypadku funkcji nie w pełni określonych nie może być już tak bezpośrednie. Przykład takiej bardziej skomplikowanej sytuacji omówimy dokonując dekompozycji funkcji podanej w tabl. 3.4.

Tablica 1.3

		$cde$							
		000	001	010	011	100	101	110	111
$ab$	00	1	–	0	1	–	0	1	0
	01	–	–	–	–	1	1	–	–
	10	–	0	1	0	0	–	0	1
	11	0	1	–	–	–	–	–	–
		$K_0$	$K_1$	$K_2$	$K_3$	$K_4$	$K_5$	$K_6$	$K_7$

Otóż w tym przypadku, ze względu na nieokreśloności funkcji, nie można bezpośrednio podjąć decyzji, które kolumny w tablicy dekompozycji są takie same. Wynika to z faktu, że kreskom reprezentującym punkty nieokreśloności funkcji można przypisać wartość albo 0 albo 1, w rezultacie zaliczając odpowiednią kolumnę do – być może – innego zbioru kolumn identycznych. Dlatego w tym przypadku wygodnie będzie wszystkie



kolumny, dla których w poszczególnych wierszach tablicy dekompozycji nie występują sprzeczne wartości (0 i 1), nazywać kolumnami zgodnymi. Zgodne są na przykład kolumny  $K_0$  i  $K_3$ , gdyż w ich poszczególnych wierszach, jako wartości funkcji, występują wyłącznie: 1 (w kolumnie  $K_0$ ) i 1 (w kolumnie  $K_3$ ), oraz odpowiednio,  $-$  i  $-$ ;  $-$  i 0; wreszcie 0 i  $-$ . Natomiast kolumny  $K_0$  i  $K_1$  są niezgodne, gdyż w wierszu oznaczonym 11 mają wartości funkcji odpowiednio 0 i 1. Nietrudno zauważyć, że tak definiowane pary kolumn zgodnych tworzą relację zgodności, której własności: zwrotność, symetryczność i nieprzechodniość uprawniają do grupowania kolumn zgodnych w maksymalne klasy zgodności. Wypisując więc dla funkcji z tabl. 3.4 wszystkie pary zgodne:  $\{K_0, K_3\}$ ,  $\{K_0, K_4\}$ ,  $\{K_0, K_6\}$ ,  $\{K_1, K_3\}$ ,  $\{K_1, K_4\}$ ,  $\{K_1, K_5\}$ ,  $\{K_1, K_6\}$ ,  $\{K_2, K_5\}$ ,  $\{K_2, K_7\}$ ,  $\{K_3, K_4\}$ ,  $\{K_3, K_6\}$ ,  $\{K_4, K_5\}$ ,  $\{K_4, K_6\}$ ,  $\{K_5, K_7\}$ , łatwo możemy obliczyć – stosując algorytm omówiony w rozdz. 1 – maksymalne klasy zgodności:

$$\{K_0, K_3, K_4, K_6\},$$

$$\{K_1, K_3, K_4, K_6\},$$

$$\{K_1, K_4, K_5\},$$

$$\{K_2, K_5, K_7\}.$$

Ze zrozumiałych względów niektóre kolumny występują w więcej niż jednej klasie zgodności. Musimy więc podjąć decyzję o wyborze rozłącznych klas zgodności (nie muszą być w tym przypadku maksymalne) pokrywających wszystkie kolumny tablicy dekompozycji, tzn. każda kolumna musi być reprezentowana w jednej klasie zgodności. Jedno z możliwych rozwiązań jest:  $\{K_0, K_3, K_4, K_6\}$ ,  $\{K_2, K_5\}$ ,  $\{K_2, K_7\}$ .

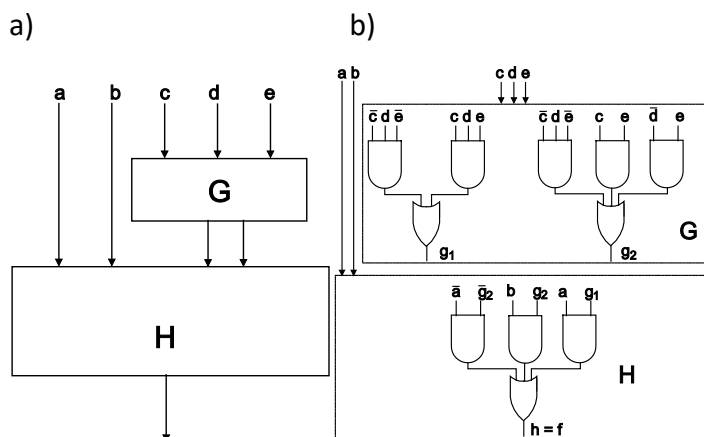
Po połączeniu kolumn należących do jednej klasy w jedną, uzyskuje się tablice funkcji  $G$  i  $H$  oraz wyrażenia boolowskie tych funkcji:

$$g_1 = \bar{c}d\bar{e} + cde$$

$$g_2 = \bar{c}d\bar{e} + ce + \bar{d}e$$

$$h = \bar{a}\bar{g}_2 + bg_2 + ag_1$$

Funkcjom  $G$  i  $H$  odpowiada schemat blokowy oraz logiczny przedstawiony odpowiednio na rys. 3.2a oraz 3.2b.

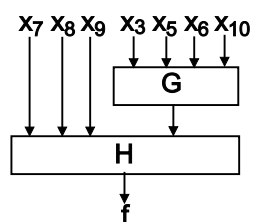


Rys. 1.2. Schemat blokowy (a) i logiczny (b) funkcji  $GiH$

Przedstawiona wyżej metoda, jakkolwiek łatwa do interpretacji graficznej, w obliczeniach analitycznych bardziej skomplikowanych przykładów staje się zbyt pracochłonna.

Na przykład dla funkcji TL27 (patrz tab. 2.28) odpowiednia tablica dekompozycji – uzyskana dla reduktu  $R_{10} = \{x_3, x_5, x_6, x_7, x_8, x_9, x_{10}\}$  – jest przedstawiona w tab. 3.4.

Tablicę tę skonstruowano przy założeniu, że zbiory zmiennych bezpośrednich oraz pośrednich są odpowiednio  $A = \{x_7, x_8, x_9\}$ ,  $B = \{x_3, x_5, x_6, x_{10}\}$ . Spostrzeżenie, że w tablicy tej – w celu obliczenia składowych  $G$  i  $H$  dekompozycji – należy „skleić” kolumny oznaczone wektorami: 0000, 0011, 0100, 0101, 1000, 1001, 1010, 1011, 1111 oraz 0010, 0110, 0111, 1100, 1101, 1110, nie jest zadaniem łatwym. Spostrzeżenie to prowadzi do wniosku, że funkcję TL27 można zrealizować, jak na rys. 3.3.



Rys. 1.3. Realizacja funkcji TL27

Tablica 1.4

$x_3$	0	0	0	0	0	0	0	1	1	1	1	1	1	1
$x_5$	0	0	0	1	1	1	1	0	0	0	0	1	1	1
$x_6$	0	1	1	0	0	1	1	0	0	1	1	0	0	1
$x_{10}$	0	0	1	0	1	0	1	0	1	0	1	0	1	0
$x_7x_8x_9$														
000	–	–	–	1	–	0	–	1	–	–	1	–	–	–
001	0	–	0	–	–	–	1	–	–	–	–	1	–	–
010	–	1	–	–	–	–	–	–	–	0	–	–	–	–
011	–	0	–	–	1	–	–	1	–	–	–	0	–	–
100	–	–	–	–	–	1	–	–	–	–	–	–	1	–
101	–	–	–	–	–	–	–	–	–	–	–	–	0	0
110	–	–	–	–	–	–	–	–	–	–	–	–	–	1
111	–	–	1	–	–	–	–	–	1	–	–	–	–	1

## 1.2 Dekompozycja funkcjonalna metodą rachunku podziałów

### 1.2.1 Dekompozycja funkcjonalna – model podstawowy

W tym punkcie zajmiemy się analitycznym opisem dekompozycji funkcji boolowskich. Do tego celu posłużymy się omówionym w rozdz. 1 rachunkiem podziałów. W szczególności wyprowadzimy warunki dekompozycji dla funkcji boolowskich opisanych podziałami  $P_1, P_2, \dots, P_n, P_f$  określonymi na zbiorze  $K$  ponumerowanych wektorów tablicy prawdy funkcji  $f$ .

Na początek zajmiemy się poszukiwaniem realizacji  $f = h(U, g(V, W))$ , gdzie:

$$U = \{x_{i_1}, \dots, x_{i_r}\}, V = \{x_{i_{r+1}}, \dots, x_{i_t}\}, W = \{x_{j_1}, \dots, x_{j_p}\}^{1)}$$

a ponadto

$$W \subseteq U, U \cup V \subseteq X, U \cap V = \Phi \text{ oraz } P(x_{i_1}) \cdot P(x_{i_2}) \cdots P(x_{i_t}) \leq P_f.$$

Sens powyższych ustaleń wynika z faktu, że dla danego  $U$  zbiór  $V$  może być wyznaczony bezpośrednio z reprezentacji argumentowej  $RA_f$  ograniczonej do par  $p, q: \{p, q\} \subseteq \text{BLOK}(P_U)$ , gdzie  $P_U = P_{i_1} \dots P_{i_r}$ .

Oznaczając tak zdefiniowaną reprezentację przez  $RA_g$ , łatwo stwierdzić, że  $V$  jest rozwiązaniem równania  $RA_g = 1$ . Ponadto przez  $P_V, P_W$  będziemy oznaczać podziały na  $K$  określone zbiorami  $V$  i  $W$ , tzn.:

$$P_V = P(x_{i_{r+1}}) \cdot P(x_{i_{r+2}}) \cdot \dots \cdot P(x_{i_t}) \quad P_W = P(x_{j_1}) \cdot P(x_{j_2}) \cdot \dots \cdot P(x_{j_p})$$

### TWIERDZENIE 3.2

Jeżeli  $f: \mathbf{B}^n \rightarrow \{0,1,-\}$  oraz  $X = U \cup V$  jest zbiorem argumentów funkcji  $f$ , to:

$$f = h(U, g(V, W))$$

wtedy i tylko wtedy, gdy istnieje dwublokowy podział  $\Pi_g \geq P_V \cdot P_W$  taki, że:

$$P_U \cdot \Pi_g \leq P_f,$$

gdzie  $g: \mathbf{B}^{t-r+p} \rightarrow \{0,1\}$ , przy czym  $g(k) = c$ , natomiast  $k \in K$ ,  $c \in \{0,1\}$ , jeżeli  $k \in \Pi_g^c$ .

W szczególności  $f = h(U, g(V))$  wtedy i tylko wtedy, gdy istnieje  $\Pi_g \geq P_V$ , dla którego  $P_U \cdot \Pi_g \leq P_f$  (jest to tzw. dekompozycja rozłączna [3.15]).

Uzasadnienie jest natychmiastowe, jeżeli zauważymy, że dwublokowy podział  $\Pi_g \geq P_{V,W}$  jednoznacznie reprezentuje funkcję  $g$ , natomiast  $P_U \cdot \Pi_g$  funkcję  $h$ . Otóż każdy blok  $H$  podziału  $P_{V,W}$  jest wzajemnie jednoznaczną reprezentacją wektora o składowych  $(x_{j_1}, \dots, x_{j_p}, x_{i_{r+1}}, \dots, x_{i_t})$ , gdyż skoro  $H \in P_V \cdot P_W$ , to dla

<sup>1)</sup> **Uwaga:** w opisie tym zmieniamy oznaczenia zbiorów  $A$  i  $B$  z modelu Curtisa, wprowadzając oznaczenia typowe dla metod dekompozycji w ujęciu rachunku podziałów [3.3].

każdego  $P_a$  spośród  $P_{j_1} \dots P_{j_p}, P_{i_{r+1}} \dots P_{i_t}$  blok  $H$  należy do ustalonego bloku  $P_a^c$  podziału  $P_a$ . Zapisując ten fakt w formie przyporządkowania:

$H \rightarrow$  wektor o składowych binarnych  $c \in \{0,1\}$

i uwzględniając, że blokom tym są w podziale  $\Pi_g$  przyporządkowane:

0, gdy  $H \in \Pi_g^0$

1, gdy  $H \in \Pi_g^1$

uzyskujemy naturalną reprezentację  $g: \mathbf{B}^{t-r+p} \rightarrow \{0,1\}$ . Z kolei, skoro  $P_U \cdot \Pi_g \leq P_f$ , to  $P_{i_1} \dots P_{i_r} \cdot P(g) \leq P(f)$  i tym samym  $f = h(x_{i_1}, \dots, x_{i_r}, g)$ . Natomiast wartości  $h$  wynikają (analogicznie jak poprzednio) z przynależności bloków  $P_U \cdot \Pi_g$  do bloków podziału  $P_f$ .

Jak wynika z twierdzenia 3.2 najistotniejsze w obliczeniu dekompozycji funkcji boolowskiej jest obliczenie podziału  $\Pi_G$ . Algorytm obliczania  $\Pi_G$  można sprowadzić do algorytmu obliczania MKZ. Oznaczmy bloki podziału  $P_V: P_V = (B_1, \dots, B_i, \dots, B_j, \dots, B_N)$  i przyjmijmy przez podział  $\gamma_{ij}$  rozumieć podział uzyskany z  $P_V$  przez sklejenie  $B_i$  oraz  $B_j$  w jeden blok i pozostawienie pozostałych bloków bez zmiany, tzn.:  $\gamma_{ij} = (B_1, \dots, B_i B_j, \dots, B_N)$ .

Dwa bloki  $B_i$  i  $B_j$  podziału  $P_V$  są zgodne, jeśli podział  $\gamma_{ij}$  spełnia warunek twierdzenia o dekompozycji:  $P_U \bullet \gamma_{ij} \leq P_F$ . W przeciwnym przypadku  $B_i$  oraz  $B_j$  są niezgodne.

W ten sposób obliczanie  $\Pi_G$  można sprowadzić do algorytmu obliczania MKZ. Wystarczy w tym celu dla obliczonych par zgodnych  $B_i, B_j$  (albo sprzecznych) obliczyć rodzinę maksymalnych zbiorów zgodnych bloków  $B$ , a następnie stosując algorytm wyznaczania minimalnego pokrycia skojarzyć zbiory bloków minimalnego pokrycia z blokami podziału  $\Pi_G$ .

### PRZYKŁAD 3.1

Sposób postępowania wyjaśnimy na przykładzie funkcji podanej w tabl. 3.5.

Tablica 1.5

	$x_1$	$x_2$	$x_3$	$x_4$	$x_5$	$f$
1	0	0	0	0	0	0
2	0	1	0	1	1	0
3	0	0	1	0	1	0
4	0	1	1	1	1	0
5	0	0	1	1	0	0
6	0	1	0	0	1	1
7	0	0	1	0	0	1
8	0	1	1	1	0	1
9	1	0	1	0	1	1
10	1	1	0	0	1	1
11	1	0	0	0	1	1

Zakładając dekompozycję dla zbiorów:  $U = \{x_1, x_2\}$ ,  $V = \{x_3, x_4, x_5\}$  podziały  $P_U = P_3 \bullet P_4$  i  $P_V = P_1 \bullet P_2 \bullet P_5$  można wyznaczyć bezpośrednio z podziałów:

$$P_1 = \{\overline{1,2,3,4,5,6,7,8}; \overline{9,10,11}\}$$

$$P_2 = \{\overline{1,3,5,7,9,11}; \overline{2,4,6,8,10}\}$$

$$P_3 = \{\overline{1,2,6,10,11}; \overline{3,4,5,7,8,9}\}$$

$$P_4 = \{\overline{1,3,6,7,9,10,11}; \overline{2,4,5,8}\}$$

$$P_5 = \{\overline{1,5,7,8}; \overline{2,3,4,6,9,10,11}\}$$

$$P_f = \{\overline{1,2,3,4,5}; \overline{6,7,8,9,10,11}\}$$

Na tej podstawie obliczamy:

$$P_U = P_1 \bullet P_2 = (\overline{1,3,5,7}; \overline{2,4,6,8}; \overline{9,11}; \overline{10})$$

$$P_V = P_3 \bullet P_4 \bullet P_5 = (\overline{1}; \overline{2}; \overline{3,9}; \overline{4}; \overline{5,8}; \overline{6,10,11}; \overline{7})$$

Numerujemy bloki  $P_V$ :

$$P_V = (B_1, B_2, B_3, B_4, B_5, B_6, B_7)$$

$$\gamma_{12} = (\overline{1,2}; \overline{3,9}; \overline{4}; \overline{5,8}; \overline{6,10,11}; \overline{7})$$

$$\gamma_{57} = (\overline{1}; \overline{2}; \overline{3,9}; \overline{4}; \overline{5,7,8}; \overline{6,10,11})$$

$$P_U \bullet \gamma_{12} \leq P_f,$$

$$P_U \bullet \gamma_{57} \not\leq P_f,$$

czyli para  $(B_1, B_2)$  jest zgodna, natomiast para  $(B_5, B_7)$  jest sprzeczna.

Ale do wyznaczenia zgodnych (lub sprzecznych) par  $(B_i, B_j)$  niekoniecznie musimy się posługiwać skomplikowaną nierównością  $P_U \bullet \gamma_{ij} \leq P_F$ . Wystarczy w tym celu obliczyć iloczyn zbioru  $B_i \cup B_j$  z blokami podziału  $P_U$  i sprawdzić, czy każdy „niepusty iloczyn” jest zawarty w jakimś bloku  $P_F$ .

Do obliczenia  $\Pi_G$  zastosujemy algorytm wyznaczania klas zgodnych wg par niezgodności:  $(B_1, B_7)$ ,  $(B_2, B_5)$ ,  $(B_2, B_6)$ ,  $(B_3, B_7)$ ,  $(B_4, B_5)$ ,  $(B_4, B_6)$ , i  $(B_5, B_7)$ . Utworzona według par niezgodnych formuła typu iloczyn sum i jej kolejne przekształcenia są następujące:

$$\begin{aligned} & (B_1 + B_7) (B_2 + B_5) (B_2 + B_6) (B_3 + B_7) (B_4 + B_5) (B_4 + B_6) (B_5 + B_7) = \\ & = (B_7 + B_1 B_3 B_5) (B_2 B_4 + B_5 B_6) = B_2 B_4 B_7 + B_5 B_6 B_7 + B_1 B_2 B_3 B_4 B_5 + B_1 B_3 B_5 B_6 \end{aligned}$$

Klasy zgodne uzyskamy odejmując od zbioru  $\{B_1, \dots, B_7\}$ , zbiory tych  $B_i$ , które występują w jednym składniku obliczonego wyżej wyrażenia typu „suma iloczynów”. Stąd:

$$B_1 B_3 B_5 B_6 + B_1 B_2 B_3 B_4 + B_6 B_7 + B_2 B_4 B_7.$$

$$\{B_1, \dots, B_7\} - \{B_2, B_4, B_7\} = \{B_1, B_3, B_5, B_6\}$$

$$\{B_1, \dots, B_7\} - \{B_5, B_6, B_7\} = \{B_1, B_2, B_3, B_4\}$$

$$\{B_1, \dots, B_7\} - \{B_1, B_2, B_3, B_4, B_5\} = \{B_6, B_7\}$$

$$\{B_1, \dots, B_7\} - \{B_1, B_3, B_5, B_6\} = \{B_2, B_4, B_7\}$$

Z powyższych klas bloków zgodnych można wyselekcjonować dwie:  $\{B_1, B_3, B_5, B_6\}$  oraz  $\{B_2, B_4, B_7\}$ , pokrywające zbiór  $\{B_1, \dots, B_7\}$ , czyli  $\Pi_G = \{\overline{B_1, B_3, B_5, B_6}; \overline{B_2, B_4, B_7}\}$ .

W tym przypadku rozwiązanie jest trywialne. Wracając do pierwotnych kostek tworzących poszczególne bloki  $B_i$  otrzymujemy:

$$\Pi_G = \{\overline{1,3,5,6,8,10,11}; \overline{2,4,7}\}.$$

w którym od razu określamy kodowanie bloków.

Obliczanie podziału  $\Pi_G$  można uprościć rezygnując z możliwości uzyskania rozwiązania optymalnego tj. podziału  $\Pi_G$  z najmniejszą liczbą bloków, co w realizacji odpowiada najmniejszej liczbie wyjść z komponentu  $G$ . Metoda prowadząca do takiego rozwiązania polega na zastosowaniu podziału ilorazowego  $P_U | P_U \cdot P_F$ . Podział ilorazowy podaje informację, które bloki podziału  $P_V$  należy umieścić w różnych blokach tworzonego podziału  $\Pi_G$ . Dwa bloki  $B_i, B_j$ , podziału  $P_V$  należy umieścić w różnych blokach  $\Pi_G$  wtedy, gdy ich przecięcia ze zbiorem  $B_U$  podziału  $P_U$  należą do różnych elementów  $C_s, C_t$ , odpowiedniego bloku podziału  $P_U | P_U \cdot P_F$ . Taką metodę konstruowania podziału  $\Pi_G$  nazywać będziemy metodą rozdziału elementów podziału ilorazowego  $P_U | P_U \cdot P_F$ . Na przykład dla podziałów  $P_U, P_F, P_V$  z przykładu 3.1:

$$P_U = P_1 \cdot P_2 = (\overline{1,3,5,7}; \overline{2,4,6,8}; \overline{9,11}; \overline{10})$$

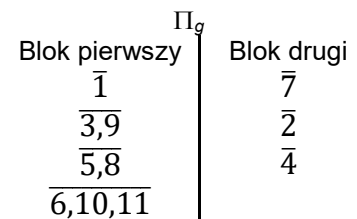
$$P_f = \{\overline{1,2,3,4,5}; \overline{6,7,8,9,10,11}\}$$

$$P_V = P_3 \cdot P_4 \cdot P_5 = (B_1, B_2, B_3, B_4, B_5, B_6, B_7) = (\overline{1}; \overline{2}; \overline{3,9}; \overline{4}; \overline{5,8}; \overline{6,10,11}; \overline{7})$$

podział ilorazowy jest następujący:  $P_U | P_U \cdot P_f = (\overline{(1,3,5)(7)}; \overline{(2,4)(6,8)}; \overline{(9,11)}; \overline{(10)})$

Rozważmy bloki  $B_1$  i  $B_7$  podziału  $P_V$ . Ich przecięcia z blokiem  $B_U = \overline{1,3,5,7}$ , czyli 1 i 7 należą odpowiednio do  $C_s = (1,3,5)$  oraz  $C_t = (7)$ , czyli dwóch różnych elementów  $P_U | P_U \cdot P_f$ . Zatem konstruując podział  $\Pi_G$  należy  $B_1$  i  $B_7$  umieścić w różnych blokach  $\Pi_G$ .

Metodę rozdziału przy tworzeniu podziału  $\Pi_G$  dla funkcji z przykładu 3.1 wyjaśnimy posługując się interpretacją graficzną przedstawioną na rys. 3.4. Z podziału ilorazowego wnioskujemy, że  $\Pi_G$  może być dwublokowy i musi rozdzielać elementy (1,3,5) od (7), (2,4) od (6,8) itd. Dlatego (zaczynając od pierwszego bloku podziału ilorazowego) bloki  $P_V$  zawierające elementy 1; 3,9 oraz 5,8 umieszczamy w pierwszym bloku  $\Pi_G$  – na rys 3.3 z lewej strony pionowej kreski, natomiast blok zawierający 7 musimy umieścić w drugim – po prawej stronie pionowej kreski. W drugim bloku podziału ilorazowego należy rozdzielić (2,4) od (6,8). Ale element 8 został już wpisany do pierwszego bloku, zatem również do pierwszego bloku należy wpisać blok  $P_V = (6,10,11)$ , natomiast do drugiego należy wpisać (2) i (4). W rezultacie uzyskujemy



Rys. 1.4. Konstrukcja podziału  $\Pi_G$

$$\Pi_g = \{\overline{1,3,5,6,8,10,11}; \overline{2,4,7}\},$$

identyczny jak poprzednio.

### PRZYKŁAD 3.2

Skuteczność wprowadzonego aparatu pokażemy na przykładzie funkcji TL27 (podroz. 2.6 – tab. 2.28).

Dla tej funkcji obliczyliśmy jeden z minimalnych zbiorów argumentów:  $X = \{x_3, x_5, x_6, x_7, x_8, x_9, x_{10}\}$ .

Korzystając z tej informacji założmy poszukiwanie dekompozycji dla zbiorów  $U = \{x_7, x_8, x_9\}$  oraz  $V = \{x_3, x_5, x_6, x_{10}\}$ . Bezpośrednio z tablicy 2.28 zapisujemy podziały  $P_i$  utworzone na zbiorze  $K$  ponumerowanych wektorów  $K = \{1, 2, \dots, 25\}$ :

$$P_1 = \{\overline{1,3,6,8,9,10,11,13,14,15,19,21,24,25}; \overline{2,4,5,7,12,16,17,18,20,22,23}\}$$

$$P_2 = \{\overline{1,2,4,11,15,19,21,23}; \overline{3,5,6,7,8,9,10,12,13,14,16,17,18,20,22,24,25}\}$$

$$P_3 = \{\overline{3,5,6,8,9,11,12,13,14,20,25}; \overline{1,2,4,7,10,15,16,17,18,19,21,22,23,24}\}$$

$$P_4 = \{\overline{1,2,3,5,6,7,8,11,13,14,15,19,21,23,24,25}; \overline{4,9,10,12,16,17,18,20,22}\}$$

$$P_5 = \{\overline{2,3,5,6,9,11,14,15,16,19,21,24}; \overline{1,4,7,8,10,12,13,17,18,20,22,23,25}\}$$

$$P_6 = \{\overline{4,7,9,13,15,17,19,20,21,22,24}; \overline{1,2,3,5,6,8,10,11,12,14,16,18,23,25}\}$$

$$P_7 = \{\overline{2,5,6,7,8,9,11,12,13,15,16,19,20,22,24}; \overline{1,3,4,10,14,17,18,21,23,25}\}$$

$$P_8 = \{\overline{1,4,5,8,9,10,12,13,16,17,19,22,25}; \overline{2,3,6,7,11,14,15,18,20,21,23,24}\}$$

$$P_9 = \{\overline{2,8,11,13,16,17,19,23,25}; \overline{1,3,4,5,6,7,9,10,12,14,15,18,20,21,22,24}\}$$

$$P_{10} = \{\overline{1,2,3,6,7,8,9,11,13,15,19,22,24,25}; \overline{4,5,10,12,14,16,17,18,20,21,23}\}$$

$$P_f = \{\overline{1,2, \dots, 9}; \overline{10, \dots, 25}\}$$

Kolejne obliczenia uzyskane bezpośrednio z podziałów  $P_i$  są następujące:

$$P_U = P_7 \cdot P_8 \cdot P_9 = (\overline{1,4,10}; \overline{2,11}; \overline{3,14,18,21}; \overline{5,9,12,22}; \overline{6,7,15,20,24}; \overline{8,13,16,19}; \overline{17,25}; \overline{23})$$

$$P_V = P_3 \cdot P_5 \cdot P_6 \cdot P_{10} = (\overline{1}; \overline{2}; \overline{3,6,11}; \overline{4,17}; \overline{5,14}; \overline{7,22}; \overline{8,25}; \overline{9}; \overline{10,18,23}; \overline{12}; \overline{13}; \overline{15,19,24}; \overline{16}; \overline{20}; \overline{21})$$

Dla wygody dalszych obliczeń podział  $P_U$  zapiszemy w postaci podziału ilorazowego:

$$P_U|P_f =$$

$$= (\overline{1,4})(\overline{10}); (\overline{2})(\overline{11}); (\overline{3})(\overline{14,18,21}); (\overline{5,9})(\overline{12,22}); (\overline{6,7})(\overline{15,20,24}); (\overline{8})(\overline{13,16,19}); (\overline{17})(\overline{25}); (\overline{23})$$

Najważniejszą czynnością jest obliczenie podziału  $\Pi_g$ . Aby to zrealizować wystarczy zauważyć, że:

- podział  $\Pi_g$  musi rozdzielać elementy 1 i 4 od elementu 10; 2 od 11; 3 od 14 i 18 i 21 itp. Wynika to z podziału ilorazowego,
- podział  $\Pi_g$  musi być zbudowany z bloków podziału  $P_V$ .



### PRZYKŁAD 3.2 c.d.

Zatem, jeśli zaliczymy bloki  $\bar{1}$  oraz  $\overline{4,17}$  do pierwszego bloku  $\Pi_g$ , to blok  $\overline{10,18,23}$  musimy zaliczyć do drugiego bloku  $\Pi_g$  (ponieważ zawiera element 10) itp. Reszta obliczeń jest pokazana na rys. 3.5.

	$\Pi_g$	
Blok pierwszy		Blok drugi
$\bar{1}$ $\overline{4,17}$		$\overline{10,18,23}$
$\overline{3,6,11}$		$\bar{2}$ $\overline{5,14}$ $\overline{21}$
$\overline{12}$ $\overline{7,22}$		$\bar{9}$
$\overline{8,25}$		$\overline{15,19,24}$ $\overline{20}$
		$\overline{13}$ $\overline{16}$

Rys. 1.5. Konstrukcja podziału  $\Pi_g$

Na tej podstawie stwierdzamy, że:

$$\Pi_g = \{\overline{1,3,4,6,7,8,11,12,17,22,25}; \overline{2,5,9,10,13,14,15,16,18,19,20,21,23,24}\}.$$

Zastosowanie omówionych wyżej algorytmów dekompozycji do syntezy logicznej modułów wielowyjściowych (np. matryce PLA, moduły PLD, pamięci ROM) wymaga przede wszystkim uogólnienia podstawowego twierdzenia o dekompozycji na przypadek układów wielowyjściowych. Łączna (jednoczesna) dekompozycja wszystkich funkcji wchodzących w skład układu realizowanego z zastosowaniem modułu wielowyjściowego pozwala na wyodrębnienie wielowyjściowych podukładów  $H, G$ , których tablice prawdy stanowią bądź bezpośrednią informację, określającą na przykład zawartość pamięci ROM lub komórki typu LUT, bądź też są punktem wyjścia do dalszych etapów syntezy (np. minimalizacja układów wielowyjściowych) w przypadku matryc PLA.

Łatwo sprawdzić, że  $P_V \cdot \Pi_g \leq P_f$ . Zatem dekompozycja istnieje. Dalej, korzystając z podziałów  $P_V$  i  $\Pi_g$  obliczamy tablicę funkcji  $g$  (tab. 3.7). Obliczenia interpretujemy następująco. Dla przykładu: blok  $\bar{1}$  jest zawarty w drugim bloku podziałów  $P_1, P_5, P_6$ , natomiast w pierwszym bloku podziału  $P_{10}$  oraz w pierwszym bloku podziału  $\Pi_g$ . Dlatego odpowiadający mu wektor jest 1110, ma wartość funkcji  $g = 0$  (patrz tab. 3.6).

Podobnie postępujemy dla funkcji  $h$  (tab. 3.7), ale tu korzystamy z bloków iloczynu podziałów  $P_U \cdot \Pi_g$  oraz ich przynależności do podziałów  $P_7, P_8, P_9, \Pi_g$  oraz  $P_f$ .

Tablica 1.6

	$x_3$	$x_5$	$x_6$	$x_{10}$	$g$
$\bar{1}$	1	1	1	0	0
$\bar{2}$	1	0	1	0	1
$\overline{3,6,11}$	0	0	1	0	0
$\overline{4,17}$	1	1	0	1	0
$\overline{5,14}$	0	0	1	1	1
$\overline{7,22}$	1	1	0	0	0
$\overline{8,25}$	0	0	1	0	0
$\bar{9}$	0	0	0	0	1
$\overline{10,18,23}$	1	1	1	1	1
$\bar{12}$	0	1	1	1	0
$\bar{13}$	0	1	0	0	1
$\overline{15,19,24}$	1	0	0	0	1
$\bar{16}$	1	0	1	1	1
$\bar{20}$	0	1	0	1	1
$\bar{21}$	1	0	0	1	1

Tablica 1.7

	$x_7$	$x_8$	$x_9$	$g$	$f$
$\bar{14}$	1	0	1	0	0
$\bar{10}$	1	0	1	1	1
$\bar{2}$	0	1	0	1	0
$\bar{11}$	0	1	0	0	1
$\bar{3}$	1	1	1	0	0
$\overline{14,18,21}$	1	1	1	1	1
$\overline{5,9}$	0	0	1	1	0
$\overline{12,22}$	0	0	1	0	1
$\overline{6,7}$	0	1	1	0	0
$\overline{15,20,24}$	0	1	1	1	1
$\bar{8}$	0	0	0	0	0
$\overline{13,16,19}$	0	0	0	1	1
$\overline{17,25}$	1	0	0	0	1
$\bar{23}$	1	1	0	1	1

### 1.2.2 Dekompozycja zespołów funkcji boolowskich

Ze względu na różne zastosowanie przedstawionego wyżej schematu, blok G będziemy nazywać albo układem składowych dekompozycji  $g_j$ , albo układem modyfikacji adresu. Pierwsza nazwa jest analogią do dekompozycji pojedynczej funkcji boolowskiej. Druga z kolei wiąże się z zastosowaniem dekompozycji w projektowaniu układów adresowania pamięci ROM, dla których to układów ograniczenia w liczbie wejść adresowych zmuszają do procesu modyfikacji adresu o  $n$  bitach na adres  $t$ -bitowy.

Oznaczmy jak poprzednio wektory z  $\mathbf{B}^n$  liczbami naturalnymi  $K = \{1, \dots, |\mathbf{B}^n|\}$ , a przez  $P_F$  podział wyjściowy funkcji  $F$  skonstruowany w następujący sposób:

$$(\mathbf{s}, \mathbf{t}) \in B_{P_F} \Leftrightarrow F(\mathbf{s}) = F(\mathbf{t})$$

Inaczej mówiąc, wektory  $\mathbf{s}$  i  $\mathbf{t}$  należą do jednego bloku  $B$  podziału  $P_F$  tylko wtedy, gdy odwzorowanie  $F$  przyporządkowuje tym wektorom taki sam wektor z  $\{0,1\}^n$ . Na przykład, dla odwzorowania  $F$  określonego jak w tabl. 3.8 podział  $P_F$  (zapisany w postaci podziału na zbiorze  $K = \{1,2,\dots,15\}$ ) będzie miał postać:

$$P_F = \left( \overline{\{1,9,14\}}; \overline{\{5,7,8,13\}}; \overline{\{2,6,12\}}; \overline{\{4,11\}}; \overline{\{3,10,15\}} \right)$$

Tablica 1.8

	$x_1$	$x_2$	$x_3$	$x_4$	$x_5$	$y_1$	$y_2$	$y_3$
1	0	0	0	0	0	0	0	0
2	0	0	0	1	1	0	1	0
3	0	0	0	1	0	1	0	0
4	0	1	1	0	0	0	1	1
5	0	1	1	0	1	0	0	1
6	0	1	1	1	0	0	1	0
7	0	1	0	0	0	0	0	1
8	1	1	0	0	0	0	0	1
9	1	1	0	1	0	0	0	0
10	1	1	1	0	0	1	0	0
11	1	1	1	1	1	0	1	1
12	1	1	1	1	0	0	1	0
13	1	0	0	0	1	0	0	1
14	1	0	0	1	1	0	0	0
15	1	0	0	1	0	1	0	0

Warunek istnienia dekompozycji o schemacie blokowym jak na rys. 3.6, gdzie  $U, V$  są rozłącznymi podziorami zbioru  $X$  funkcji  $F(X)$  oraz  $W \subseteq U$  formułuje następujące twierdzenie.

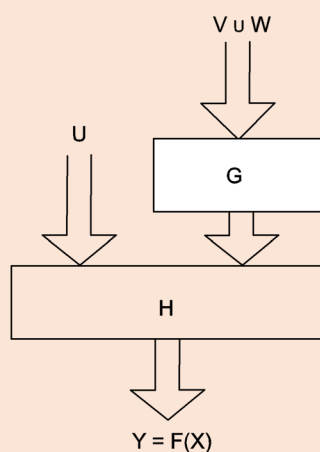
### TWIERDZENIE 3.3

Funkcja  $F: B^n \rightarrow \{0,1,-\}^m$  ma dekompozycję (rys. 3.6):

$$F = H(U, G(V, W))$$

wtedy i tylko wtedy, gdy istnieje podział  $\Pi_G \geq P_{W \cup W}$  taki, że:

$$P_U \cdot \Pi_G \leq P_F \tag{3-1}$$



1.6. Dekompozycja wg twierdzenia 3.3

Jak widać zastosowanie rachunku podziałów okazało się wyjątkowo wygodne, gdyż odpowiednie twierdzenie o dekompozycji układów wielowyjściowych traktuje zespół funkcji jako pojedynczy obiekt, podlegający zasadom dekompozycji identycznie jak pojedyncza funkcja boolowska.

### PRZYKŁAD 3.3

Dla układu funkcji  $F$  z tabl. 3.9 przyjmijmy  $U = \{x_1, x_3, x_4\}$  oraz  $V = \{x_2, x_5\}$  oraz  $W = \emptyset$ .

Tablica 1.9

	$x_1$	$x_3$	$x_4$	$g$	$y_1$	$y_2$	$y_3$
1	0	0	0	0	0	0	0
2	0	0	1	1	0	1	0
3	0	0	1	0	1	0	0
4	0	1	0	1	0	1	1
5	0	1	0	0	0	0	1
6	0	1	1	1	0	1	0
7	0	0	0	1	0	0	1
8,13	1	0	0	1	0	0	1
9,14	1	0	1	1	0	0	0
10	1	1	0	1	1	0	0
11	1	1	1	0	0	1	1
12	1	1	1	1	0	1	0
15	1	0	1	0	1	0	0

### PRZYKŁAD 3.3. c.d.

Podział  $P_U = P_1 \cdot P_3 \cdot P_4$  ( $P_i = P(x_i)$ ),  $P_V = P_2 \cdot P_5$ . Zapisując  $P_U$  w postaci podziału ilorazowego mamy, że:

$$P_U | P_F = \overline{(1)(7)}; \overline{(8)(13)}; \overline{(2)(3)}; \overline{(9,14)(15)}; \overline{(4)(5)}; \overline{(10)}; \overline{(6)}; \overline{(11)(12)}$$

$$P_V = \{ \overline{1,3,15}; \overline{2,13,14}; \overline{4,6,7,8,9,10,12}; \overline{5,11} \}$$

Blokami  $H_1, \dots, H_4$  podziału  $P_V$  odpowiadają wektory  $D(H_1) = 00$ ,  $D(H_2) = 01$ ,  $D(H_3) = 10$ ,  $D(H_4) = 11$ . W celu wyznaczenia dwublokowego podziału  $\Pi_G \geq P_V$  spełniającego warunek dekompozycji (3-1) zauważmy, że jeśli blok  $H_1$  przeznaczymy do pierwszego bloku podziału  $\Pi_G$ , to blok  $H_3$  należy przeznaczyć do drugiego bloku tego podziału. Stwierdzenie to jest wynikiem faktu, że  $H_1$  zawiera wektor 1,  $H_3$  zawiera wektor 7, a ponadto wektory te należą do różnych bloków podziału wyjściowego  $P_F$ . Fakt ten jest zresztą zaznaczony w podziale ilorazowym  $P_U | P_F$ . Mamy więc  $\Pi_G^0 = \{1,3,15\}$ , więc  $\Pi_G^1 = \{4,6,7,8,9,10,12\}$ . Następnie sprawdzamy kolejną parę wektorów z  $P_U | P_F$ , czyli 2 i 3. Skoro 3 jest w  $\Pi_G^0$ , to  $\Pi_G^1 = \Pi_G^1 \cup \{2,3,14\}$ . Kolejna para (9,14) i (15) należy już do różnych bloków  $\Pi_G$ , a więc sprawdzamy 4 i 5. Stąd:

$$\Pi_G = (\overline{1,3,5,11,15}; \overline{2,4,6,7,8,9,10,12,13,14})$$

Łatwo stwierdzić, że funkcja  $g$  przyporządkowuje wektorowi  $(x_2, x_5) = (0,0)$  wartość 0, i analogicznie  $g(0,1) = 1$ ,  $g(1,0) = 1$ ,  $g(1,1) = 0$ . Ostatecznie  $g = x_2 \oplus x_5$ . W rezultacie, dla układu  $y_1, y_2, y_3$  funkcji z tabl. 3.9 danego odwzorowaniem  $F : (y_1, y_2, y_3) = F(x_1, \dots, x_5)$  uzyskaliśmy dekompozycję:  $F = H(x_1, x_3, x_4, g(x_2 \oplus x_5))$ .

Tablicę prawdy funkcji  $H$  można wyznaczyć na podstawie przynależności bloków iloczynu  $P_1 \cdot P_3 \cdot P_4 \cdot \Pi_G$  do bloków podziałów  $P_1, P_3, P_4, \Pi_G$  oraz  $P_F$ . Odpowiednie obliczenia podane są w tabl. 3.10.

**Tablica 1.10**

(2)	(9,14)	(3,15)
$\bar{2}$ ;	$\overline{8,9,10,12}$ $\overline{13,14}$	$\overline{1,3}$ $\overline{15}$
$\overline{4,6,7}$ ;		$\bar{5}$
		$\overline{11}$

Z kolei dla  $U = \{x_3, x_4\}$  oraz  $V = \{x_1, x_2, x_5\}$ , podział  $P_U = P_3 \cdot P_4$ ,  $P_V = P_1 \cdot P_2 \cdot P_5$ , a więc:

$$P_U = (\overline{1,7,8,13}; \overline{2,3,9,14,15}; \overline{4,5,10}; \overline{5,6,11,12})$$

$$P_F = (\overline{1,9,14}; \overline{5,7,8,13}; \overline{2,6,12}; \overline{4,11}; \overline{3,10,15})$$

$$P_U | P_F = \overline{(1)(7,8,13)}; \overline{(2)(9,14)(3,15)}; \overline{(4)(5)(10)}; \overline{(11)(6,12)}$$

$$P_V = (\overline{1,3}; \overline{2}; \overline{4,6,7}; \overline{5}; \overline{8,9,10,12}; \overline{11}; \overline{13,14}; \overline{15})$$

gdzie bloki  $P_V$  są oznaczone kolejno  $B_1, B_2, \dots, B_8$ .

### PRZYKŁAD 3.3. c.d.

Z podziału ilorazowego  $P_U | P_F$  wnioskujemy, że odpowiedni  $\Pi_G$  powinien mieć co najmniej 3 bloki. Wynika to z faktu, że elementy (2), (9,14) i (3,15) muszą należeć do trzech różnych bloków  $\Pi_G$  (to samo dotyczy (4), (5) i (10)). Ponadto pamiętamy, że  $\Pi_G \geq P_V$ . Zatem wprowadzenie bloków z  $P_V$  do tworzonego  $\Pi_G$  powinno przebiegać według schematu pokazanego w tabelicy 3.10. Stąd:

$$\Pi_G = (\overline{2,4,6,7}; \overline{8,9,10,12,13,14}; \overline{1,3,5,11,15})$$

Przyjmując, że kodowanie bloków  $\Pi_G$  jest: pierwszy blok – 01, drugi blok – 10, trzeci blok – 00 i uwzględniając, iż kolejnym blokom z podziału  $P_V$  odpowiadają wektory (zmienne  $x_1, x_2, x_5$ ) odpowiednio:  $B_1 = 000, B_2 = 001, B_3 = 010, B_4 = 011, B_5 = 110, B_6 = 111, B_7 = 101$  oraz  $B_8 = 100$ , wyznaczamy tablicę prawdy funkcji  $G$  (tab. 3.11).

**Tablica 1.11**

	$x_1$	$x_2$	$x_5$	$g_1$	$g_2$
$\overline{1,3}$	0	0	0	0	0
$\overline{2}$	0	0	1	0	1
$\overline{4,6,7}$	0	1	0	0	1
$\overline{5}$	0	1	1	0	0
$\overline{8,9,10,12}$	1	1	0	1	0
$\overline{11}$	1	1	1	0	0
$\overline{13,14}$	1	0	1	1	0
$\overline{15}$	1	0	0	0	0

Podobnie, po obliczeniu iloczynu:  $P_U \cdot \Pi_G = (\overline{1}; \overline{7}; \overline{8,13}; \overline{3,15}; \overline{2}; \overline{9,14}; \overline{4}; \overline{5}; \overline{10}; \overline{6}; \overline{11}; \overline{12})$

wyznaczamy tablicę prawdy funkcji  $H$  (tab. 3.12).

**Tablica 1.12**

	$x_3$	$x_4$	$g_1$	$g_2$	$y_1$	$y_2$	$y_3$
$\overline{1}$	0	0	0	0	0	0	0
$\overline{7}$	0	0	0	1	0	0	1
$\overline{8,13}$	0	0	1	0	0	0	1
$\overline{3,15}$	0	1	0	0	1	0	0
$\overline{2}$	0	1	0	1	0	1	0
$\overline{9,14}$	0	1	1	0	0	0	0
$\overline{4}$	1	0	0	1	0	1	1
$\overline{5}$	1	0	0	0	0	0	1
$\overline{10}$	1	0	1	0	1	0	0
$\overline{6}$	1	1	0	1	0	1	0
$\overline{11}$	1	1	0	0	0	1	1
$\overline{12}$	1	1	1	0	0	1	0

### 1.2.3 Pojęcie $r$ -przydatności i dekompozycja nierozłączna

Istotną zaletą rachunku podziałów wprowadzonego w poprzednim rozdziale jest prosta metoda selekcji zbioru argumentów należących do zbioru  $U$ .

W selekcji argumentów  $x_i$  ze zbioru  $U$  spełniających warunek (3-1) z twierdzenia 3.3 pomocne jest pojęcie  $r$ -przydatności zbioru podziałów względem podziału  $P$  [3.1], [3.15].

Oznaczmy przez  $\gamma(\tau|\delta)$  liczbę elementów w największym bloku ilorazu podziałów  $\tau$  i  $\delta$ . Niech  $\Gamma(\tau|\delta) = \log_2 \gamma(\tau|\delta)$ .

Zbiór  $\{P_1, \dots, P_k\}$  jest  $r$ -przydatny względem  $P$ , gdzie:

$$r = k + \Gamma(P_1 \dots P_k | P \cdot P_1 \dots P_k) \quad (3-2)$$

Dla zmiennej  $x_1$  z tab. 3.9 obliczymy  $r$  dla  $P_1 = (\overline{1,2,3,4,5,6,7}; \overline{8,9,10,11,12,13,14,15})$  oraz  $P = (\overline{1,9,14}; \overline{5,7,8,13}; \overline{2,6,12}; \overline{4,11}; \overline{3,10,15})$ .

Mamy tu:

$$\begin{aligned} P \cdot P_1 &= (\overline{1}; \overline{9,14}; \overline{5,7}; \overline{8,13}; \overline{2,6}; \overline{12}; \overline{4}; \overline{11}; \overline{3}; \overline{10,15}) \\ P|P \cdot P_1 &= \{(1)(2,6)(3)(4)(5,7); (8,13)(9,14)(10,15)(11)(12)\} \\ \gamma(P_1|P \cdot P_1) &= 5, \Gamma(P_1|P \cdot P_1) = 3, \text{ czyli } r = 4 \end{aligned}$$

Można więc  $r$ -przydatności dwublokowych podziałów  $P_i$  względem podziału  $P$  obliczać bezpośrednio z  $P_i$  oraz  $P$ , grupując po prostu elementy w bloku podziału  $P_i$  w podzbiory o maksymalnej liczności należące do ustalonego bloku podziału  $P$ . Dlatego też iloraz  $P_i|P \cdot P_i$  oznaczать będziemy często po prostu przez  $P_i$ , zapisując elementy tego ilorazu w nawiasach.

Jeśli  $\{P_1, \dots, P_k\}$  jest  $r$ -przydatny ( $k < r$ ) względem  $P$ , to istnieje zbiór podziałów  $\{P_{k+1}, \dots, P_r\}$ , dla których:

$$P_1 \dots P_k \cdot P_{k+1} \dots P_r \leq P$$

natomiast nie istnieje  $\{P'_{k+1}, \dots, P'_{r-1}\}$  taki, że:

$$P_1 \dots P_k \cdot P'_{k+1}, \dots, P'_{r-1} \leq P$$

Inaczej mówiąc, warunkiem koniecznym i wystarczającym na to, aby:

$$P_1 \dots P_k \cdot P_{k+1} \dots P_m \leq P$$

jest  $m$ -przydatność zbioru  $\{P_1, \dots, P_k\}$  względem  $P$ .

Można również wykazać, że jeśli  $P = \{P_1, \dots, P_k\}$  jest  $m$ -przydatny względem  $P$ , to każdy podzbiór z  $P$  jest  $m'$ -przydatny, gdzie  $m' \leq m$ . Tym samym warunkiem koniecznym na to, aby  $P = \{P_1, \dots, P_k\}$  był  $m$ -przydatny względem  $P$  jest  $r$ -przydatność podzbiorów z  $P$  taka, że dla każdego  $P^i$  zawartego w  $P$ ,  $r(P^i) \leq m$ . To proste stwierdzenie pozwala w łatwy sposób grupować podziały 2-blokowe w zbiory o ustalonej przydatności.

Na przykład, jeśli w zbiorze podziałów  $\{P_1, \dots, P_5\}$  następujące podzbiory są  $m$ -przydatne:  $\{P_1, P_3\}$ ,  $\{P_1, P_4\}$ ,  $\{P_3, P_4\}$ ,  $\{P_4, P_5\}$ , to jedynym  $m$ -przydatnym zbiorem o liczności 3 może być tylko zbiór  $\{P_1, P_3, P_4\}$ .

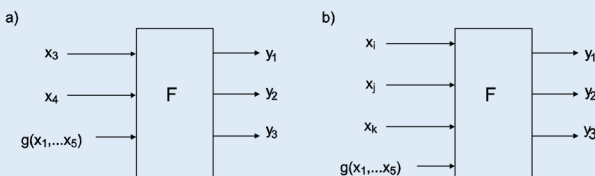
Zastosowanie  $r$ -przydatności w syntezie funkcji  $g$ , to jest składowych dekompozycji wyjaśnia następujący przykład.

### PRZYKŁAD 3.4

Obliczymy  $r$ -przydatność podziałów  $P(x_i)$  dla układu  $F$  funkcji z tab. 3.9. Mamy tu:

$$P(x_1) = \{ \overline{(1)(2,6)(3)(4)(5,7)}; \overline{(8,13)(9,14)(10,15)(11)(12)} \}$$

czyli  $P(x_1)$  jest 4-przydatny względem  $P_F$ . Dokonując analogicznych obliczeń dla pozostałych podziałów, stwierdzamy, że  $P(x_3)$ ,  $P(x_4)$  są 3-przydatne, natomiast  $P(x_2)$ ,  $P(x_5)$ , 4-przydatne.



**Rys. 1.7.** Ilustracja obliczeń z przykładu 3.4: a) przy założeniu, że zbiór  $\{P(x_3), P(x_4)\}$  jest 3-przydatny; b) przy założeniu, że  $\{P(x_i), P(x_j), P(x_k)\}$  jest 4-przydatny

Jeśli więc istnieje dekompozycja układu  $F$  taka, jaką pokazano na rys. 3.7a, to byłoby to możliwe tylko pod warunkiem, że zbiór  $\{P(x_3), P(x_4)\}$  jest 3-przydatny. Ale

$$P(x_3) \cdot P(x_4) = \{ \overline{(1)(7,8,13)}; \overline{(9,14)(2)(3,15)}; \overline{(4)(5)(10)}; \overline{(11)(6,12)}; \}$$

czyli  $\{P(x_3), P(x_4)\}$  jest 4-przydatny. Sprawdźmy więc, czy istnieje dekompozycja o schemacie blokowym jak na rys. 3.7b.

W tym celu obliczymy  $r$  dla każdego zbioru  $\{P(x_i), P(x_j)\}$ . W wyniku uzyskujemy, że 4-przydatnymi parami są tylko  $\{P_1, P_3\}^1$ ,  $\{P_1, P_4\}$ ,  $\{P_2, P_3\}$ ,  $\{P_2, P_4\}$ ,  $\{P_3, P_4\}$ ,  $\{P_3, P_5\}$  oraz  $\{P_4, P_5\}$ . W związku z tym 4-przydatnymi trójkami mogą być tylko: a)  $\{P_1, P_3, P_4\}$ ; b)  $\{P_2, P_3, P_4\}$ ; c)  $\{P_3, P_4, P_5\}$ .

Następnie stwierdzamy, że wyłącznie trójki a) oraz c) są 4-przydatne. Dla trójek tych odpowiednie iloczyny podziałów są:

$$P(x_1) \cdot P(x_3) \cdot P(x_4) = \{ \overline{(1)(7)}; \overline{(8,13)}; \overline{(2)(3)}; \overline{(9,14)(15)}; \overline{(4)(5)}; \overline{(10)}; \overline{(6)}; \overline{(11)(12)} \}$$

$$P(x_3) \cdot P(x_4) \cdot P(x_5) = \{ \overline{(1)(7,8)}; \overline{(13)}; \overline{(9)(3,15)}; \overline{(14)(2)}; \overline{(4)(10)}; \overline{(5)}; \overline{(6)(12)}; \overline{(11)} \}$$

<sup>1)</sup> Stosujemy tu oznaczenie  $P(x_i) = P_i$ .

Z przykładu 3.4 wynika, że synteza składowych dekompozycji wymaga utworzenia wszystkich możliwych dwójek, trójek... podziałów o ustalonej  $r$ -przydatności. Przy dużej liczbie zmiennych wejściowych (dużym  $n$ ) wymaga to obliczenia stosunkowo dużej liczby  $r$ -przydatności zbiorów  $\{P_i, P_j\}$  ( $i, j \in \{1, \dots, n\}$ ), gdyż liczba wszystkich różnych par  $\{P_i, P_j\}$  jest  $n!/2(n-2)!$ .

Proces ten można uprościć, określając związki między  $r$ -przydatnością podziałów dwublokowych.

Jeżeli  $r(P_a) = n$  i  $r(P_b) = n$ , to zbiór  $\{P_a, P_b\}$  ma przydatność co najwyżej równą  $n+1$ , jeżeli natomiast  $r(P_a) = n$  i  $r(P_b) = n+1$ , to zbiór  $\{P_a, P_b\}$  jest  $n+1$ -przydatny.

Zastosujemy powyższe związki w celu obliczenia 4-przydatnych par  $P_i, P_j$  dla podziałów  $P_1, \dots, P_5$  z przykładu 3.4. Poprzednio obliczyliśmy, że  $r$ -przydatności tych podziałów wynoszą odpowiednio: 3 dla  $P_3, P_4$  oraz 4 dla  $P_1, P_2, P_5$ . Na mocy powyższych związków, 4-przydatnymi zbiorami  $\{P_i, P_j\}$  są:  $\{P_1, P_3\}$ ,  $\{P_1, P_4\}$ ,  $\{P_2, P_3\}$ ,  $\{P_2, P_4\}$ ,  $\{P_3, P_5\}$ ,  $\{P_4, P_5\}$ , natomiast  $r$ -przydatność pary  $\{P_3, P_4\}$  jest  $r'$ :  $3 \leq r' \leq 4$ , a par  $\{P_1, P_2\}$ ,  $\{P_1, P_5\}$ ,  $\{P_2, P_5\}$  jest  $r''$ :  $4 \leq r'' \leq 5$ . Stąd wniosek, że w celu wyselekcjonowania wszystkich 4-przydatnych par wystarczy obliczyć  $r$ -przydatność wyłącznie dla par  $\{P_i, P_j\}$ :  $(i, j) \in \{(3,4), (1,2), (1,5), (2,5)\}$  – czyli czterech par. Poprzednio (w przykładzie 3.4) obliczenia te należało wykonać dla 10 par.



### PRZYKŁAD 3.5

Dla funkcji  $F$  z tablicy 3.13 zbiory podziałów  $\{P_1, P_2\}, \{P_1, P_4\}, \{P_1, P_5\}, \{P_2, P_3\}, \{P_2, P_4\}, \{P_3, P_4\}, \{P_3, P_5\}, \{P_4, P_5\}$  są 4-przydatne. Obliczyć wszystkie najlepsze dekompozycje szeregowo tej funkcji dla  $U = \{x_i, x_j, x_k\}$ , czyli  $F = H(x_i, x_j, x_k, G_0)$ . Wykazać, że dla żadnej z nich nie istnieje dekompozycja  $F = H(G_1(x_i, x_j, x_k), G_0)$ .

Tablica 1.13

	$x_1$	$x_2$	$x_3$	$x_4$	$x_5$	$y_1$	$y_2$	$y_3$
1	0	0	0	1	1	1	0	0
2	0	0	0	1	0	1	0	1
3	0	1	1	0	0	0	1	1
4	0	1	1	0	1	0	1	0
5	1	1	0	0	0	0	0	1
6	1	1	0	1	0	0	0	0
7	1	1	1	0	0	1	0	1
8	1	1	1	1	0	0	1	0
9	1	0	0	0	1	1	1	1
10	1	0	0	1	1	1	0	0
11	1	0	0	1	0	1	0	1

### Rozwiązanie

$$P_F = (\overline{1,10}; \overline{2,7,11}; \overline{3}; \overline{4,8}; \overline{5}; \overline{6}; \overline{9}).$$

Z podanych par  $\{P_i, P_j\}$  tworzymy trójki podejrzane o  $r = 4$

$$A = \{x_1, x_2, x_4\}, \quad B = \{x_1, x_4, x_5\} \quad C = \{x_2, x_3, x_4\} \quad D = \{x_3, x_4, x_5\}$$

$$P(A)|P_F = P_1 \cdot P_2 \cdot P_4|P_F = \{(\overline{1})(\overline{2}); (\overline{3})(\overline{4}); (\overline{5})(\overline{7}); (\overline{6})(\overline{8}); (\overline{9}); (\overline{10})(\overline{11})\} \quad r = 3+1$$

$$P(B)|P_F = P_1 \cdot P_4 \cdot P_5|P_F = \{(\overline{1}); (\overline{2}); (\overline{3}); (\overline{4}); (\overline{5,7}); (\overline{6})(\overline{8})(\overline{11}); (\overline{9}); (\overline{10})\} \quad r = 3+2$$

$$P(C)|P_F = P_2 \cdot P_3 \cdot P_4|P_F = \{(\overline{1,10})(\overline{2,11}); (\overline{3})(\overline{4})(\overline{7}); (\overline{5}); (\overline{6}); (\overline{8}); (\overline{9})\} \quad r = 3+2$$

$$P(D)|P_F = P_3 \cdot P_4 \cdot P_5|P_F = \{(\overline{1,10}); (\overline{2,11})(\overline{6}); (\overline{3})(\overline{7}); (\overline{4}); (\overline{5}); (\overline{8}); (\overline{9})\} \quad r = 3+1$$

Obliczenia dla  $U = \{x_1, x_2, x_4\}$  (rys. 3.7)

$$P_V = P(x_3 x_5) = (\overline{1,9,10}; \overline{2,5,6,11}; \overline{3,7,8}; \overline{4}).$$

Z podziału ilorazowego  $P(A)|P_F$  wynika, że warunki dekompozycji będą spełnione, gdy rozdzielimy wektory: 1 od 2, 3 od 4, 5 od 7, 6 od 8 oraz 10 od 11. Uzyskamy to, gdy podział  $\Pi_{G_0}$  będzie 2-blokowy (tab. 3.14):

Tablica 1.14

	$x_3 x_5$	$g_0$
1,9,10	0 1	0
2,5,6,11	0 0	1
3,7,8	1 0	0
4	1 1	1

### PRZYKŁAD 3.5.c.d.

$$P_V = P(x_3 x_5) = (\overline{1,9,10}; \overline{2,5,6,11}; \overline{3,7,8}; \overline{4}).$$

1. blok:  $\overline{1,9,10}$  i  $\overline{3,7,8}$

2. blok:  $\overline{2,5,6,11}$  i  $\overline{4}$

Zatem

$$\Pi_{G_0} = (\overline{1,3,7,8,9,10}; \overline{2,4,5,6,11})$$

$$P_H = P(U)\Pi_{G_0} = (\overline{1,2}; \overline{3,4}; \overline{5,7}; \overline{6,8}; \overline{9}; \overline{10,11}) \cdot (\overline{1,3,7,8,9,10}; \overline{2,4,5,6,11}) = (\overline{1}; \overline{2}; \overline{3}; \overline{4}; \overline{5}; \overline{6}; \overline{7}; \overline{8}; \overline{9}; \overline{10}; \overline{11}).$$

Pierwszy krok dekompozycji przedstawiono w tab. 3.14 i na rys. 3.8.

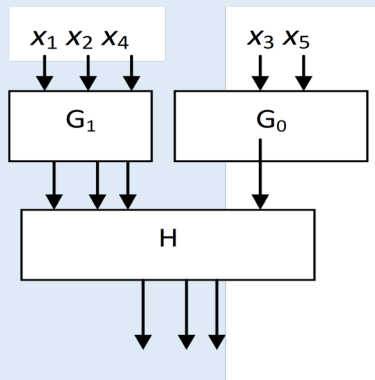
Sprawdzamy czy istnieje dekompozycja  $F = H(G_1(x_i, x_j, x_k), G_0)$ .

W tym celu liczymy  $r$ -przydatność  $\Pi_{G_0}$ :

$$\Pi_{G_0}|P_F = \{(\overline{1,10})(3)(7)(8)(9); \overline{(2,11)}(4)(5)(6)\}$$

czyli  $r = 1+3 = 4$ , zatem wymagana dekompozycja nie istnieje, gdyż blok  $G_1$  musiałby mieć 3 wyjścia (rys. 3.9).

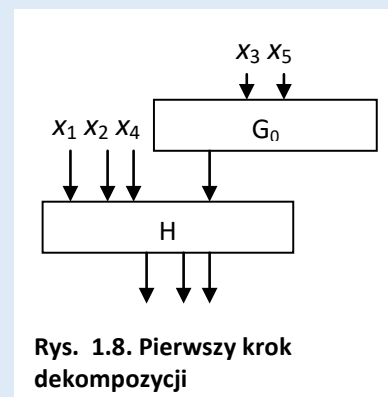
Obliczenia dla  $U = \{x_3, x_4, x_5\}$  są analogiczne. Funkcję  $H$  podano w tab. 3.15.



Rys. 1.9. Drugi krok dekompozycji

Tablica 1.15

	$x_1 x_2 x_4 x_0$	$y_1 y_2 y_3$
1	0010	100
2	0011	101
3	0100	011
4	0101	010
5	1101	001
6	1111	000
7	1100	101
8	1110	010
9	1000	111
10	1010	100
11	1011	101



Rys. 1.8. Pierwszy krok dekompozycji

## Dekompozycja nierozłączna

Zauważmy, że  $r$ -przydatność  $k$ -elementowego zbioru  $U$  nie oznacza, że istnieje dekompozycja:

$$F = H((U, G(V)))$$

w której funkcja  $G$  ma  $r-k$  wyjść. Sytuacja ta oznacza tylko, że istnieje dekompozycja z funkcją  $G$  o argumentach  $V \cup W$  gdzie  $W \subseteq U$ .

Oczywiście w najlepszym przypadku  $W$  jest zbiorem pustym, a w najgorszym  $W = U$  i wtedy dekompozycja taka nie ma sensu. Można się jednak spodziewać, że sytuacja najlepsza i najgorsza są najmniej prawdopodobne.

Z powyższego wynika, że w praktyce często stajemy przed problemem wyznaczania dekompozycji nierozłącznej. Podstawowym problemem w obliczaniu dekompozycji nierozłącznej jest wyznaczenie zbioru  $W$  o możliwie minimalnej liczności. Wybór argumentów do zbioru  $W$  jest przeprowadzany na podstawie analizy podziału  $P_V$ . Otóż, w przypadku, gdy nie istnieje dekompozycja rozłączna, nie istnieje również  $\Pi_G \geq P_V$  spełniający nierówność  $P_V \cdot \Pi_G \leq P_F$ .

Jest zrozumiałe, że powiększenie zbioru  $V$  o argumenty z  $W \subseteq U$  prowadzi w konsekwencji do utworzenia „drobniejszego”  $\Pi'_G \geq P'_V$  (gdzie  $P'_V$  jest zbiorem indukowanym argumentami  $V' = V \cup W$ ). Drobniejszy  $\Pi'_G$  może zapewnić spełnienie warunku:

$$P \cdot \Pi'_G \leq P_F$$

Sposób postępowania przy wyznaczaniu  $W$  wyjaśnimy na przykładzie.

Dla funkcji podanej w tabl. 3.16 poszukujemy dekompozycji, w której  $U = \{x_1, x_2, x_3\}$ ,  $V = \{x_4, x_5\}$ .

Wyznaczamy kolejno:

$$\Pi_{G_0} = (\overline{1,3,7,8,9,10}; \overline{2,4,5,6,11})$$

$$P_H = P(U)\Pi_{G_0} =$$

$$= (\overline{1,2}; \overline{3,4}; \overline{5,7}; \overline{6,8}; \overline{9}; \overline{10,11})$$

$$\cdot (\overline{1,3,7,8,9,10}; \overline{2,4,5,6,11}) =$$

$$= (\overline{1}; \overline{2}; \overline{3}; \overline{4}; \overline{5}; \overline{6}; \overline{7}; \overline{8}; \overline{9}; \overline{10}; \overline{11})$$

$$P_F = (\overline{1,7,10}; \overline{2}; \overline{3,8}; \overline{4}; \overline{5,6,9})$$

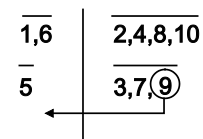
$$P_U = (\overline{1,2}; \overline{3,6}; \overline{4,5}; \overline{7}; \overline{8,9}; \overline{10})$$

$$P_V = (\overline{1,6}; \overline{2,4,8,10}; \overline{3,7,9}; \overline{5})$$

Tablica 1.16

	$x_1$	$x_2$	$x_3$	$x_4$	$x_5$	$y_1$	$y_2$	$y_3$
1	0	0	0	0	0	0	0	0
2	0	0	0	1	1	0	1	0
3	0	1	0	1	0	1	0	0
4	0	1	1	1	1	0	1	1
5	0	1	1	0	1	0	0	1
6	0	1	0	0	0	0	0	1
7	1	1	0	1	0	0	0	0
8	1	0	0	1	1	1	0	0
9	1	0	0	1	0	0	0	1
10	1	0	1	1	1	0	0	0

Podział  $\Pi_G$  konstruujemy w sposób pokazany na rys. 3.10. Niestety nie można spełnić warunków rozdziału z podziału ilorazowego: elementy 8 i 9 są w jednym bloku podziału  $\Pi_G$ .



Rys. 1.10. Konstrukcja podziału  $\Pi_G$

Warunki te byłyby spełnione, gdybyśmy przenieśli element 9 do pierwszego bloku (strzałka na rys. 3.9). Byłoby to jednak możliwe, gdyby elementy 3, 7 były oddzielone od elementu 9. Z tablicy 3.17 wynika, że wektory 3 i 9 różnią się na pozycjach  $x_1$  oraz  $x_2$ , natomiast wektory 7 i 9 różnią się na pozycji  $x_2$ . Zatem zmienna  $x_2$  wystarczy do oddzielenia 3, 7 od 9. Stąd wniosek, że  $W = \{x_2\}$ , czyli istnieje dekompozycja nierozłączna. Jej wyznaczenie nie następuje trudności, gdyż dla nowego  $P_V$  obliczenie odpowiedniego  $\Pi_G$  jest już możliwe:

$$P_V = P_V \cdot P_2$$

$$P_V = (\bar{1}; \bar{6}; \overline{2,8,10}; \bar{4}; \overline{3,7}; \bar{9}; \bar{5})$$

$$\Pi_{G_0} = (\overline{1,5,6,9}; \overline{2,3,4,7,8,10})$$

Pojęcie  $r$ -przydatności i dekompozycja nierozłączna ułatwiają znajdowanie najlepszych dekompozycji.

### PRZYKŁAD 3.6

Dla funkcji z tablicy 3.17 podziały  $P_1, P_2, P_5$  są 3-przydatne, a  $P_3, P_4$  – 4-przydatne. Należy obliczyć wszystkie dekompozycje szeregowo z najmniejszą liczbą wejść do bloku  $H$  oraz najmniejszą liczbą wejść i wyjść bloku  $G$ .

**Uwaga:** wystarczy obliczyć odpowiednie podziały  $\Pi_G$  spełniające warunek wystarczający dekompozycji.

Tablica 1.17

	$x_1$	$x_2$	$x_3$	$x_4$	$x_5$	$Y$
1	0	0	0	0	0	D
2	0	0	0	0	1	A
3	0	0	0	1	0	C
4	1	0	0	1	0	D
5	1	0	0	1	1	B
6	0	0	0	1	1	B
7	0	0	1	0	0	D
8	1	0	1	0	1	B
9	0	0	1	0	1	A
10	0	1	1	0	0	C
11	1	1	1	0	0	E
12	1	1	1	0	1	A

W rozwiązaniu podać też schematy blokowe obliczonych dekompozycji, w szczególności wejścia i wyjścia bloków  $G$  i  $H$ .

#### Rozwiązanie:

$$P_F = (\overline{1,4,7}; \overline{2,9,12}; \overline{3,10}; \overline{4,8}; \overline{5,6,8}; \overline{11}).$$

$$P_1 \cdot P_5 | P_F = \{ \overline{(1,7)(3,10)}; \overline{(2,9)(6)}; \overline{(4)(11)}; \overline{(5,8)(12)} \} \quad r = 3$$

$$P_1 \cdot P_2 | P_F = \{ \overline{(1,7)(2,9)(3)(6)}; \overline{(5,8)(4)}; \overline{(10)}; \overline{(11)(12)} \} \quad r = 4$$

$$P_2 \cdot P_5 | P_F = \{ \overline{(1,4,7)(3)}; \overline{(2,9)(5,6,8)}; \overline{(10,11)}; \overline{(12)} \} \quad r = 3$$

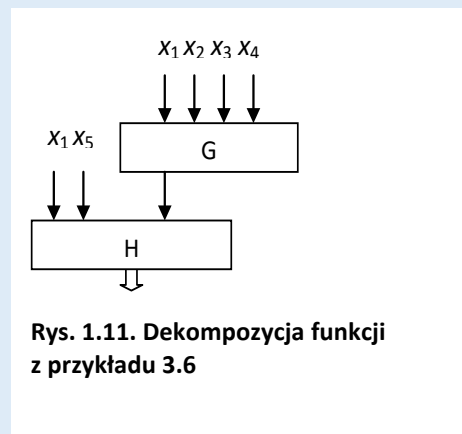
Dla  $U = \{x_1, x_5\}$  (rys. 3.11)

$$P_1 \cdot P_5 | P_F = \{ \overline{(1,7)(3,10)}; \overline{(2,9)(6)}; \overline{(4)(11)}; \overline{(5,8)(12)} \}$$

$$P_V = P(x_2, x_3, x_4) = (\overline{1,2}; \overline{3,4,5,6}; \overline{7,8,9}; \overline{10,11,12}).$$

Tworzenie podziału  $\Pi_G$ :

1. blok  $\overline{1,2}$  i  $\overline{7,8,9}$
2. blok  $\overline{3,4,5,6}$  i  $\overline{10,11,12}$



Wektory 4, 5 trzeba oddzielić od 3, 6. Stąd dekompozycja nierozłączna z  $x_1$ , czyli  $V' = x_1 x_2 x_3 x_4$

### PRZYKŁAD 3.6 c.d.

$$P_V = (\overline{1,2}; \overline{3,6}; \overline{4,5}; \overline{7,9}; \overline{8}; \overline{10}; \overline{11,12})$$

$$\Pi_{G'} = (\overline{1,2,4,5,7,8,9}; \overline{3,6,10,11,12})$$

$$\begin{aligned} P_H &= P(U) \cdot \Pi_{G'} = (\overline{1,3,7,10}; \overline{2,6,9}; \overline{4,11}; \overline{5,8,12}) \cdot (\overline{1,2,4,5,7,8,9}; \overline{3,6,10,11,12}) \\ &= (\overline{1,7}; \overline{3,10}; \overline{2,9}; \overline{6}; \overline{4}; \overline{11}; \overline{5,8}; \overline{12}) \end{aligned}$$

Tablice bloków  $G$  i  $H$  przedstawiono odpowiednio w tab. 3.18. i tab. 3.19.

Tablica 1.18

	$x_1x_2x_3x_4$	$g$
1,2	0 0 0 0	0
3,6	0 0 0 1	1
4,5	1 0 0 1	0
7,9	0 0 1 0	0
8	1 0 1 0	0
10	0 1 1 0	1
11,12	1 1 1 0	1

Tablica 1.19

	$x_1x_5g'$	$Y$
1,7	0 0 0	D
2,9	0 1 0	A
3,10	0 0 1	C
4	1 0 0	D
5,8	1 1 0	B
6	0 1 1	B
11	1 0 1	E
12	1 1 1	A

Dla  $U = \{x_2, x_5\}$  (rys. 3.12):

$$\begin{aligned} P_2 \cdot P_5 | P_F &= \{(\overline{1,4,7})(\overline{3}); (\overline{2,9})(\overline{5,6,8}); (\overline{10})(\overline{11}); (\overline{12})\} \\ P_V &= P(x_1, x_3, x_4) = (\overline{1,2}; \overline{3,6}; \overline{4,5}; \overline{7,9,10}; \overline{8,11,12}). \end{aligned}$$

Podział  $\Pi_G$  można utworzyć następująco:

1. blok  $\overline{1,2}; \overline{4,5}; \overline{7,9,10}$
2. blok  $\overline{3,6}; \overline{8,11,12}$

Aby zlikwidować konflikt wektor 5 należy oddzielić od wektora 4. Stąd dodatkowo  $x_5$ , czyli

$$V' = \{x_1, x_3, x_4, x_5\}$$

$$P_{V'} = (\overline{1}; \overline{2}; \overline{3}; \overline{4}; \overline{5}; \overline{6}; \overline{7,10}; \overline{9}; \overline{8,12}; \overline{11})$$

$$\Pi_{G'} = (\overline{1,2,4,7,9,10}; \overline{3,5,6,8,11,12})$$

Tablice bloków  $H$  i  $G'$  podano odpowiednio w tab. 3.20 i tab. 3.21.

### PRZYKŁAD 3.6 c.d.

Tablica 1.20

	$x_1x_3x_4x_5$	$g$
1	0000	0
2	0001	0
3	0010	1
4	1010	0
5	1011	1
6	0011	1
7,10	0100	0
9	0101	0
8,12	1101	1
11	1100	1

Tablica 1.21

	$x_2x_5g'$	$Y$
1,7	000	D
2,9	010	A
3,10	001	C
4	100	D
5,8	110	B
6	011	B
11	101	E
12	111	A

Dekompozycja nierozłączna, mimo iż zwiększa liczbę wejść do komponentu G, może w rezultacie prowadzić do uzyskania realizacji z mniejszą liczbą komórek logicznych. Sytuację taką omawiamy w poniższym przykładzie.

### PRZYKŁAD 3.7

Dla funkcji  $F$  z tab. 3.22a istnieje dekompozycja:

$$F = H(x_4, x_5, x_6, G_1(x_1, x_2, x_3))$$

dla której funkcja  $G_1$  jest podana w tabelicy 3.22b.

Tablica 1.22

a)

	$x_1$	$x_2$	$x_3$	$x_4$	$x_5$	$x_6$	$y_1$	$y_2$
1	1	0	0	1	0	0	0	0
2	1	0	1	1	1	0	0	1
3	1	1	0	1	1	1	0	1
4	1	0	1	1	0	0	0	0
5	0	0	1	1	1	0	1	0
6	1	1	0	1	0	0	1	0
7	1	0	0	1	1	1	1	0
8	0	0	1	0	1	1	1	1
9	0	0	1	0	1	0	1	1

b)

	$x_1$	$x_2$	$x_3$	$g_1$
1	1	1	0	0
2	0	0	1	0
3	1	0	1	1
4	1	0	0	1

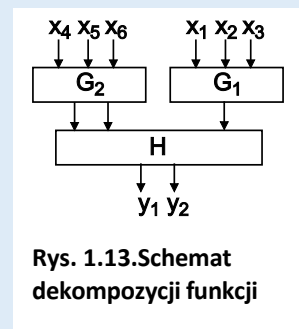
Ponieważ  $P_U = P(g_1) = (\overline{3,5,6,8,9}; \overline{1,2,4,7})$  jest 3-przydatny, możemy wyznaczyć:

$$\Pi_G = (\overline{3,7}; \overline{2,5}; \overline{1,4,6}; \overline{8,9}),$$

który zapewnia realizację funkcji  $F = H(G_2(x_4, x_5, x_6), G_1(x_1, x_2, x_3))$

w strukturze przedstawionej na rys. 3.13.

Przy założeniu, że dysponujemy strukturami z komórkami o wymiarach 3/1, do realizacji tej funkcji jest potrzebnych 5 komórek.



Postaramy się znaleźć dekompozycję prowadzącą do oszczędniejszej realizacji. W tym celu obliczymy  $r$ -przydatność dla podziałów reprezentujących pary zmiennych:  $(g_1, x_4)$ ,  $(g_1, x_5)$ ,  $(g_1, x_6)$ .

$$P_V = (\overline{1,6}; \overline{2,4,8,10}; \overline{3,7,9}; \overline{5}).$$

$$P_U|P_F = \{(\overline{1})(\overline{2}); (\overline{3})(\overline{6}); (\overline{4})(\overline{5}); (\overline{7}); (\overline{8})(\overline{9}); (\overline{10})\}$$

$$U = \{g_1, x_4\}$$

$$P_U = (\overline{1,2,4,7}; \overline{3,5,6}; \overline{8,9}).$$

$$P_U|P_F = \{(\overline{1,4}); (\overline{2})(\overline{7}); (\overline{3})(\overline{5,6}); (\overline{8,9})\} \quad r = 4$$



$$U = \{g_{1,x_5}\}$$

$$P_U = (\overline{1,4}; \overline{2,7}; \overline{3,5,8,9}; \overline{6}).$$

$$P_U|P_F = \{(\overline{1,4}); (\overline{2})(\overline{7}); (\overline{3})(\overline{5})(\overline{8,9}); \overline{6}\} \quad r = 4$$

$$U = \{g_{1,x_6}\}$$

$$P_U = (\overline{1,2,4}; \overline{3,8}; \overline{5,6,9}; \overline{7}).$$

$$P_U|P_F = \{(\overline{1,4})(\overline{2}); (\overline{3})(\overline{8}); (\overline{5,6})(\overline{9}); \overline{7}\} \quad r = 3$$

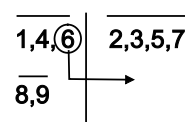
Zatem tylko dla  $U = \{g_{1,x_6}\}$  istnieje dekompozycja o strukturze, jak na rys. 3.13, której realizacja wymaga tylko czterech komórek typu 3/1. Obliczenia uzasadniające taką dekompozycję są podane poniżej.

Najpierw wyznaczamy podział  $P_V$ :

$$P_U = (\overline{1,4,6}; \overline{2,3,5,7}; \overline{8,9}).$$

$$P_U|P_F = \{(\overline{1})(\overline{2}); (\overline{3})(\overline{6}); (\overline{4,5}); (\overline{7})(\overline{8})(\overline{9}); (\overline{10})\}$$

Do wyznaczenia  $\Pi_G$  dwa pierwsze bloki podziału  $P_V$  przeznaczamy do pierwszego bloku podziału  $\Pi_G$ , natomiast trzeci blok  $P_V$  przeznaczamy do drugiego bloku  $\Pi_G$  (rys. 3.14).



Rys. 1.14. Konstrukcja podziału  $\Pi_G$

Ale tak utworzony  $\Pi_G$  jest sprzeczny z warunkami narzuconymi przez podział ilorazowy  $P_U | P_F$ , z którego wynika, że mintermy o numerach (5,6) oraz (9) muszą należeć do różnych bloków  $\Pi_G$ . Aby tak było, należy element 6 (rys. 3.14) „przenieść” do drugiego bloku. Będzie to możliwe, gdy mintermy 1,4 będą „oddzielone” od mintermu 6. Z tab. 3.22a wynika, że mintermy 1 i 6 różnią się na pozycji  $x_2$ , natomiast 4 i 6 różnią się na pozycjach  $x_2$  i  $x_3$ . Zatem  $W = \{x_2\}$ , czyli  $V = \{x_2, x_4, x_5\}$ . Na podstawie nowego  $P_V = P_V \cdot P(x_2)$ :

$$P_{V'} = (\overline{1,4}; \overline{2,5,7}; \overline{8,9}).$$

łatwo wyznaczyć  $\Pi_{G'}$ :

$$\Pi_{G'} = (\overline{1,4,8,9}; \overline{2,3,6,7}),$$

spełniający warunek  $P_U \cdot \Pi_{G'} \leq P_F$ , co uzasadnia schemat blokowy dekompozycji pokazany na rys. 3.13.

### 1.3 Dekompozycja funkcjonalna – model ogólny

Niech  $X = \{x_1, \dots, x_n\}$  będzie zbiorem zmiennych wejściowych funkcji  $F(x_1, \dots, x_n)$  specyfikowanej zbiorem kostek typu  $fr$ . Niech  $U$  i  $V$  będą dwoma rozłącznymi podzbioremami zbioru  $X$  takimi, że  $U \cup V = X$ .

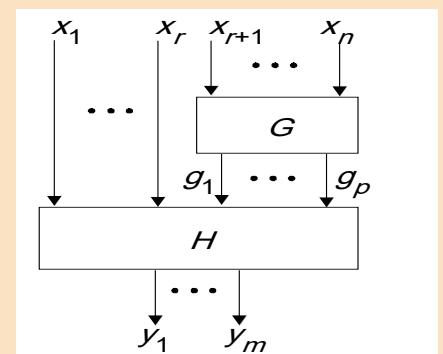
Założmy, że zbiór zmiennych  $x_1, \dots, x_n$  został w odpowiedniej tablicy funkcji przenumеровany w taki sposób, że  $U = \{x_1, \dots, x_r\}$  oraz  $V = \{x_{r+1}, \dots, x_n\}$ . Niech dla dowolnej  $n$ -krotki  $x$ , pierwsze  $r$  składowe będą oznaczone przez  $x^U$ , a ostatnie  $s = n - r$  składowe, przez  $x^V$ .

#### DEFINICJA 3.1

Niech  $F$  będzie funkcją  $fr$  posiadającą  $n > 0$  wejść oraz  $m > 0$  wyjść, w której para  $(U, V)$  jest określona jak wyżej. Założmy, że  $F$  jest specyfikowana zbiorem kostek  $K$ . Niech  $G$  będzie funkcją  $fr$  o  $s = n - r$  wejściach i  $p$  wyjściach oraz  $H$  będzie funkcją  $fr$  o  $r + p$  wejściach i  $m > 0$  wyjściach.

Parę  $(G, H)$  nazywamy dekompozycją szeregową rozłączną funkcji  $F$  (rys. 3.15) ze względu na  $(U, V)$ , jeśli, dla każdego mintermu  $b$  odpowiedniego do  $K$ ,  $G(b^V)$ , jest zdefiniowana a ponadto  $G(b^V) \in \{0, 1\}^p$  oraz

$$F(b) \supseteq H(b^U, G(b^V)).$$



1.15. Dekompozycja szeregową – model ogólny

#### TWIERDZENIE 3.4

Funkcja  $F$  typu  $fr$  określona zbiorem kostek  $K$  ma dekompozycję szeregową rozłączną ze względu na  $(U, V)$  wtedy i tylko wtedy, gdy istnieje nakrycie  $\beta_G$  na  $K$  takie, że:

$$\beta_V \leq \beta_G \text{ oraz}$$

$$\beta_U \bullet \beta_G \leq \beta_F,$$

gdzie  $\beta_U$  i  $\beta_V$  są nakryciami indukowanymi przez  $U$  i  $V$  oraz  $\beta_F$  jest nakryciem wyjściowym.

Analogiczne twierdzenie obowiązuje również w przypadku, gdy nakrycia  $\beta$  zostaną zastąpione systemami zbiorów  $\sigma$ .

### TWIERDZENIE 3.5

Funkcja  $F$  typu  $fr$  określona zbiorem kostek  $K$  ma dekompozycję szeregową rozłączną ze względu na  $(U, V)$  wtedy i tylko wtedy, gdy istnieje system zbiorów  $\sigma_G$  na  $K$  taki, że:

$$\sigma_V \leq \sigma_G \text{ oraz}$$

$$\sigma_U \bullet \sigma_G \leq \sigma_F,$$

gdzie:  $\sigma_U = \max \beta_U$  oraz  $\sigma_V = \max \beta_V$  są systemami zbiorów indukowanymi przez  $U$  i  $V$  oraz  $\sigma_F = \max \beta_F$  jest odpowiednim systemem wyjściowym.

Jak wynika z powyższych twierdzeń głównym zadaniem w obliczeniu dekompozycji funkcji  $F$  przy danych zbiorach  $U$  i  $V$  jest znalezienie nakrycia  $\beta_G$ , które spełnia warunki twierdzenia 3.4. Podział ten nie tylko weryfikuje istnienie dekompozycji, ale również pozwala na wyznaczenie tablic  $fr$  dla funkcji  $G$  i  $H$ . Wynika to z faktu, że nakrycia  $\beta_V$  i  $\beta_G$  oraz  $\beta_U \bullet \beta_G$  i  $\beta_F$  umożliwiają skonstruowanie odpowiednio tablic funkcji  $G$  i  $H$ . Konstrukcję tych tablic, a także metody obliczania  $\beta_G$  omówimy dokładnie w dalszej części rozdziału. Na razie zajmiemy się podstawowymi zasadami tych obliczeń.

Skoro  $\beta_G$  musi być konstruowany przez sklejanie bloków nakrycia  $\beta_V$ , to dwa bloki  $B_i$  i  $B_j$  nakrycia  $\beta_V$  są zgodne, jeśli nakrycie  $\gamma_{ij}$  uzyskane z  $\beta_V$  przez sklejenie  $B_i$  i  $B_j$  do jednego bloku i pozostawienie wszystkich pozostałych bloków bez zmiany, spełnia drugi warunek twierdzenia 3.4, czyli  $\beta_U \bullet \gamma_{ij} \leq \beta_F$ . W przeciwnym przypadku bloki  $B_i$  i  $B_j$  są niezgodne.

Podzbiór  $\delta$  bloków nakrycia  $\beta_V$  jest klasą zgodną, jeśli bloki w zbiorze  $\delta$  są parami zgodne. Klasa zgodna jest klasą maksymalną, jeśli nie jest podzbiorem żadnej innej klasy zgodnej. Maksymalne klasy zgodne umożliwiają konstrukcję  $\beta_G$ . Bloki nakrycia  $\beta_G$  powstają z klas zgodności tworzących minimalne pokrycie zbioru wszystkich bloków  $\beta_V$ . Wyselekcjonowane według minimalnego pokrycia klasy zgodne są następnie redukowane o bloki powtarzające się i przyjmowane jako bloki nakrycia  $\beta_G$  (lub  $\sigma_G$ ), po podstawieniu pierwotnych elementów w postaci numerów kostek funkcji  $F$ .

### PRZYKŁAD 3.8

Dla funkcji  $F$  z tablicy 3.23 i zbiorów  $U = \{x_1\}$  i  $V = \{x_2, x_3, x_4\}$  nakrycia  $\beta_U, \beta_V$  są następujące:

$$\beta_V = \{\overline{1,2,3}; \overline{3,7}; \overline{6,7}; \overline{5}; \overline{4,6}; \overline{1,2}; \overline{4}\}$$

Tablica 1.23

$x_1$	$x_2$	$x_3$	$x_4$	$y_1$	$y_2$
0	0	*	0	1	1
1	0	*	0	1	0
*	0	0	*	1	–
*	*	1	1	0	–
*	1	1	0	0	0
*	1	*	1	–	1
0	*	0	1	1	–

Uwzględniając, że  $\sigma_F = \{\overline{4,5}; \overline{4,6}; \overline{2,3,7}; \overline{1,3,6,7}\}$  możemy obliczyć, iż sklejenie bloków  $B_1$  i  $B_2$  prowadzi do  $\gamma_{12} = \{1,2,3,7\}$ , co po obliczeniu  $\beta_U \cdot \gamma_{12} = \{\overline{1,3,7}; \overline{2,3}\}$  pozwala wnioskować, że  $\beta_U \cdot \gamma_{12} \leq \sigma_F$ , zatem  $(B_1, B_2)$  jest parą zgodną. Inaczej jest z parą  $(B_1, B_3)$ , dla której  $\gamma_{13} = \{1,2,3,6,7\}$ , stąd,  $\beta_U \cdot \gamma_{13} = \{\overline{1,3,6,7}; \overline{2,3,6}\} \not\leq \sigma_F$ .  $(B_1, B_3)$  jest więc parą niezgodną. W rezultacie wszystkie pary zgodne są następujące:  $(B_1, B_2)$ ,  $(B_1, B_6)$ ,  $(B_2, B_3)$ ,  $(B_2, B_6)$ ,  $(B_4, B_7)$  i  $(B_5, B_7)$ . Łatwo więc wyznaczyć maksymalne klasy zgodne:  $\{B_1, B_2, B_6\}, \{B_2, B_3\}, \{B_4, B_7\}$  i  $\{B_5, B_7\}$ . Minimalne pokrycie zbioru  $\{B_1, \dots, B_7\}$  podanymi wyżej klasami prowadzi do rozwiązania:  $\{B_1, B_2, B_6\}, \{B_4\}, \{B_3\}$  i  $\{B_5, B_7\}$ . Na tej podstawie nakrycie  $\beta_G = \{\overline{1,2,3,7}; \overline{5}; \overline{6,7}; \overline{4,6}\}$  (po uwzględnieniu pierwotnych numerów kostek z bloków  $\beta_V$ ). Łatwo sprawdzić, że  $\beta_V \leq \beta_G$ , ponadto  $\beta_U = \{\overline{1,3,4,5,6,7}; \overline{2,3,4,5,6}\}$ ,  $\beta_F = \{\overline{4,5}; \overline{4,6}; \overline{2,3,7}; \overline{1,3,6,7}\}$ , czyli:

$$\beta_U \cdot \beta_G = \{\overline{1,3,7}; \overline{2,3}; \overline{5}; \overline{6,7}; \overline{6}; \overline{4,6}\} \leq \beta_F$$

Warunki twierdzenia 3.4 są więc spełnione i odpowiednia dekompozycja istnieje. Należy więc wyznaczyć tablice opisujące funkcje  $G$  i  $H$ .

W tym celu będziemy analizowali  $\beta_V \leq \beta_G$ , oraz  $\beta_U \cdot \beta_G$  i  $\beta_F$ . Tablica funkcji  $G$  powstaje w następujący sposób. Dla każdego bloku  $B$  nakrycia  $\beta_V$  tworzymy kostkę, której poszczególne pozycje reprezentują wartości zmiennych wejściowych funkcji  $G$ . Wartości te dla zmiennej  $x_i$  są wyznaczane w zależności od przynależności bloku  $B$  do bloku nakrycia  $\beta_i$ . Z kolei wartość funkcji  $G$  dla obliczonej w ten sposób kostki wynika z przynależności bloku  $B$  do bloku  $\beta_G$ .

### PRZYKŁAD 3.9

Dla funkcji  $F$  z przykładu 3.8 otrzymana w ten sposób tablica podana jest w tablicy 3.24a.

Tablica 1.24

Blok	$x_2$	$x_3$	$x_4$	$g_1$	$g_2$
1,2,3	0	0	0	0	0
3,7	0	0	1	0	0
6,7	1	0	1	1	0
5	1	1	0	0	1
4,6	1	1	1	1	1
1,2	0	*	0	0	0
4	*	1	1	1	1

Blok	$x_1$	$g_1$	$g_2$	$y_1$	$y_2$
1,3,7	0	0	0	1	1
2,3	1	0	0	1	0
5	*	0	1	0	0
6,7	0	1	0	1	1
6	*	1	*	–	1
4,6	*	1	1	0	1

W analogiczny sposób tworzymy tablicę funkcji  $H$ . Każdemu blokowi  $B$  z iloczynu:

$$\beta_U \cdot \beta_G = \{\overline{1,3,7}; \overline{2,3}; \overline{5}; \overline{6,7}; \overline{6}; \overline{4,6}\} \leq \beta_F$$

przyporządkowujemy kostkę o składowych  $x_1, g_1, g_2$ , przy czym wartości tych składowych wynikają z przynależności bloku  $B$  do bloków nakrycia  $\beta_1$  oraz  $\beta_G$ . Należy więc określić kodowanie bloków  $\beta_G = \{\overline{1,2,3,7}; \overline{5}; \overline{6,7}; \overline{4,6}\}$ , które tu przyjmujemy następująco: 00 dla  $\{1,2,3,7\}$ , 01 dla  $\{5\}$ , 10 dla  $\{6,7\}$  oraz 11 dla  $\{4,6\}$ . Wartości funkcji  $H$  wynikają z przynależności bloków  $B$  do poszczególnych bloków z  $\sigma_F$ . Przypomnijmy, że bloki  $\sigma_F$  (por. przykład 3.8) są kodowane następująco: 4,5, jako 00; 4,6 jako 01; 2,3,7 jako 10 oraz 1,3,6,7 jako 11. W rezultacie tablica  $H$  jest taka, jak w tablicy 3.24b.

Obliczenia tablic funkcji  $G$  i  $H$  w przykładzie 3.8, jak też obliczenie  $\beta_G$  w przykładzie 3.9 są proste i nie wymagają stosowania wszystkich, potrzebnych do tego celu procedur. W bardziej skomplikowanych przypadkach obliczenia te wymagają stosowania dodatkowych procedur, których rolę wyjaśnimy poniżej.

Przy konstrukcji tablicy funkcji  $G$  pierwszą czynnością jest wyznaczenie kostki  $C$  odpowiadającej blokowi  $B$  z nakrycia  $\beta_G$  oraz wartości funkcji  $G$  dla tej kostki, tj.  $G(C)$ . Kostkę  $C_i$  kojarzoną z  $B_i$  nazywać będziemy reprezentantem bloku  $B_i$ . W ogólnym przypadku może się zdarzyć, że dla dwóch różnych  $B_i, B_j$ , kostki  $C_i, C_j$  będą miały niepuste przecięcie, a jednocześnie odpowiadające im wartości funkcji  $G$  będą różne:

$$C_i \cap C_j \neq \emptyset, G(C_i) \neq G(C_j)$$

Jest to sytuacja niedopuszczalna z punktu widzenia niesprzeczności tablicy specyfikującej funkcję.

### PRZYKŁAD 3.9.c.d.

Celem niedopuszczenia do takich sprzeczności należy odpowiednio modyfikować kostki reprezentujące bloki  $B \in \beta_V$ . Niech  $C = r(B)$  oraz niech  $B_1, \dots, B_k$  oznaczają bloki z  $\beta_V$ , dla których:

$$B \subset B_1, G(C_1) \neq G(C)$$

$$B \subset B_2, G(C_2) \neq G(C)$$

- 
- 
- 

$$B \subset B_k, G(C_k) \neq G(C)$$

gdzie:  $C, C_1, \dots, C_k$  są reprezentantami bloków  $B, B_1, \dots, B_k$ .

W takiej sytuacji sprzeczność w tablicy funkcji  $G$  usuniemy zastępując kostkę  $C$  kostką (lub kostkami) obliczonymi jako różnica:  $C - \{C_1, \dots, C_k\}$ . Różnicę taką najwygodniej jest obliczyć jako przecięcie  $C$  z uzupełnieniem  $\{C_1, \dots, C_k\}$ , czyli kostka zmodyfikowana:

$$C' = C \cap \{C_1, \dots, C_k\}.$$

### PRZYKŁAD 3.10

Rozważmy dekompozycję funkcji  $F$  z tablicy 3.25 dla  $U = \{x_1, x_2\}$  i  $V = \{x_3, x_4, x_5, x_6\}$ . Odpowiednie nakrycie  $\beta_V$  jest tu następujące:

$$\beta_V = \left\{ \overline{7,8}; \overline{3,4,8}; \overline{8}; \overline{4,8}; \overline{1,5,8}; \overline{3,5,8}; \overline{6,8}; \overline{1,2,5,8}; \right\}$$

Tablica 1.25

	$x_1$	$x_2$	$x_3$	$x_4$	$x_5$	$x_6$	$y_1$	$y_2$	$y_3$
1	*	0	1	*	0	0	1	-	-
2	0	*	1	1	0	0	1	-	-
3	1	*	*	*	0	1	-	1	-
4	0	*	0	*	*	1	-	1	-
5	1	*	1	*	0	*	-	-	1
6	*	*	1	0	1	*	0	0	0
7	*	*	0	*	0	0	-	-	0
8	1	1	*	*	*	*	0	-	-

### PRZYKŁAD 3.10 c.d.

Łatwo sprawdzić, że nakrycie:

$$\sigma_G = \left\{ \overline{00}, \overline{01}, \overline{10}, \overline{11} \right\} = \{ \overline{3,4,7,8}; \overline{3,5,8}; \overline{6,8}; \overline{1,2,5,8} \}$$

spełnia warunki twierdzenia 3.4, zatem dekompozycja istnieje.

Dla kolejnych bloków  $\beta_V$ , ich reprezentantów obliczamy albo wg zawartości tych bloków w blokach nakryć  $\beta_i$  albo bezpośrednio z tablicy 3.25, korzystając z faktu, że reprezentant bloku  $B$  jest iloczynem kostek zawartych w  $B$ . Na przykład dla  $B_1 = \{7,8\}$ ,  $B_2 = \{3,4,8\}$ ,  $B_3 = \{8\}$ ,

$$C_1 = r(B_1) = 0*00 \cap **** = 0*00$$

$$C_2 = r(B_2) = **01 \cap 0**1 \cap **** = 0*01$$

$$C_3 = r(B_3) = ****$$

$$C_4 = r(B_3) = 0**1$$

Pełna tablica reprezentantów podana jest w tabl. 3.26.

Tablica 1.26

Blok $\beta_V$	Reprezentant	Wyjścia
$B_1$	0 * 0 0	0 0
$B_2$	0 * 0 1	0 0
$B_3$	* * * *	0 0
$B_4$	0 * * 1	0 0
$B_5$	1 * 0 0	1 1
$B_6$	1 * 0 1	0 1
$B_7$	1 0 1 *	1 0
$B_8$	1 1 0 0	1 1

Skoro  $B_1 \subseteq \{3,4,7,8\}$ , któremu w  $\beta_G$  został przyporządkowany kod 00, to  $G(0*00) = 00$ . Podobnie dla  $B_2 \subseteq \{3,4,7,8\}$  mamy  $G(0*01) = 00$ . Zatem przyjmując, że  $G(C_3) = 00$  ( $B_3 \subseteq \{3,4,7,8\}$ , można więc jako wartość  $G$  dla kostki  $C_3$  przyjąć kod bloku  $\{3,4,7,8\}$ ), konflikt znajdujemy dla kostek reprezentujących bloki  $B_5, B_6, B_7, B_8$ , stąd następująca modyfikacja  $C_3$ :

$$\{(\overline{****})\} - \{1*00, 1*01, 101*, 1100\} = \text{COMPLEMENT}\{1*00, 1*01, 101*, 1100\} = \{0***, *11*\}.$$

Omawiana wyżej dekompozycja, w której zbiory  $U$  i  $V$  są rozłączne, jest przypadkiem szczególnym dekompozycji, dla której założenie  $U \cap V = \emptyset$  jest nieistotne. Istotne jest jedynie założenie dotyczące sensownej liczby wejść do poszczególnych komponentów.

Niech  $U$  i  $V$  będą podzbiórmi  $X$  takimi, że  $U \cup V = X$ . Załóżmy, że zmienne  $x_1, \dots, x_n$  są uporządkowane w taki sposób, iż  $U = \{x_1, \dots, x_r\}$  i  $V = \{x_{r-s+1}, \dots, x_n\}$ .

### DEFINICJA 3.2

Niech  $F$  będzie funkcją o  $n > 0$  wejściach i  $m > 0$  wyjściach, i niech  $(U, V)$  będzie określone jak wyżej. Zakładamy też, że  $F$  jest specyfikowana zbiorem kostek  $K$ . Niech  $G$  będzie funkcją o  $s$  wejściach i  $p$  wyjściach, natomiast  $H$  funkcją  $fr$  o  $r + p$  wejściach i  $m$  wyjściach. Parę  $(G, H)$  nazywamy dekompozycją funkcji  $F$  ze względu na  $(U, V)$ , jeśli dla każdego mintermu  $b$  odpowiedniego do  $K$ ,  $G(b^V) \in \{0, 1\}^p$  oraz

$$F(b) \supseteq H(b^U, G(b^V)).$$

### TWIERDZENIE 3.6

Jeśli istnieje nakrycie  $\beta_G$  na  $K$  takie, że:

$$\beta_V \leq \beta_G, \text{ oraz}$$

$$\beta_U \bullet \beta_G \leq \beta_F,$$

to  $F$  ma dekompozycję szeregową ze względu na  $(U, V)$ .



### PRZYKŁAD 3.11

Dla funkcji z tablicy 3.23 rozważmy dekompozycję nierozłączną ze zbiorami:

$U = \{x_1, x_4\}$  i  $V = \{x_2, x_3, x_4\}$ . Mamy tu:

$$\beta_U = \{\overline{1,3,5}; \overline{3,4,6,7}; \overline{2,3,5}; \overline{3,4,6}; \},$$

$$\beta_V = \{\overline{1,2,3}; \overline{3,7}; \overline{1,2}; \overline{4}; \overline{6,7}; \overline{5}; \overline{4,6}\},$$

Do obliczenia  $\beta_G$  zastosujemy algorytm wyznaczania klas zgodnych wg par niezgodności:  $(B_1, B_4)$ ,  $(B_1, B_6)$ ,  $(B_1, B_7)$ ,  $(B_2, B_4)$ ,  $(B_2, B_6)$ ,  $(B_2, B_7)$ ,  $(B_3, B_6)$ ,  $(B_4, B_5)$ , i  $(B_5, B_7)$ . Utworzona według par niezgodnych formuła typu iloczyn sum i jej kolejne przekształcenia są następujące:

$$\begin{aligned} & (B_1 + B_4) (B_1 + B_6) (B_1 + B_7) (B_2 + B_4) (B_2 + B_6) (B_2 + B_7) (B_3 + B_6) (B_4 + B_5) (B_5 + B_7) = \\ & = (B_1 + B_4 B_6 B_7) (B_2 + B_4 B_6 B_7) (B_3 + B_6) (B_5 + B_4 B_7) = B_1 B_2 B_3 B_5 + B_1 B_2 B_5 B_6 + \\ & + B_1 B_2 B_3 B_4 B_7 + B_4 B_6 B_7. \end{aligned}$$

Klasy zgodne uzyskamy odejmując od zbioru  $\{B_1, \dots, B_7\}$ , zbiory tych  $B_i$ , które występują w jednym składniku obliczonego wyżej wyrażenia typu „suma iloczynów”. Stąd:

$$\{B_1, \dots, B_7\} - \{B_1, B_2, B_3, B_5\} = \{B_4, B_6, B_7\}$$

$$\{B_1, \dots, B_7\} - \{B_1, B_2, B_5, B_6\} = \{B_3, B_4, B_7\}$$

$$\{B_1, \dots, B_7\} - \{B_1, B_2, B_3, B_4, B_7\} = \{B_5, B_6\}$$

$$\{B_1, \dots, B_7\} - \{B_4, B_6, B_7\} = \{B_1, B_2, B_3, B_5\}$$

Z powyższych klas bloków zgodnych można wyselekcjonować dwie:  $\{B_1, B_2, B_3, B_5\}$  oraz  $\{B_4, B_6, B_7\}$ , pokrywające zbiór  $\{B_1, \dots, B_7\}$ , czyli  $\beta_G = \{\overline{B_1, B_2, B_3, B_5}; \overline{B_4, B_6, B_7}\}$ . W tym przypadku rozwiązanie jest trywialne. Wracając do pierwotnych kostek tworzących poszczególne bloki  $B_i$  otrzymujemy:

$$\beta_G = \left\{ \overline{\begin{array}{c} 0 \\ 1, 2, 3, 6, 7 \end{array}}; \overline{\begin{array}{c} 1 \\ 4, 5, 6 \end{array}} \right\},$$

w którym od razu określamy kodowanie bloków.

### PRZYKŁAD 3.11 c.d.

Identyczny wynik uzyskamy obliczając klasy zgodne algorytmem korzystającym z par zgodnych. Następujące pary są zgodne:  $(B_1, B_2)$ ,  $(B_1, B_3)$ ,  $(B_1, B_5)$ ,  $(B_2, B_3)$ ,  $(B_2, B_5)$ ,  $(B_3, B_4)$ ,  $(B_3, B_5)$ ,  $(B_3, B_7)$ ,  $(B_4, B_6)$ ,  $(B_4, B_7)$ ,  $(B_5, B_6)$ ,  $(B_6, B_7)$ . Na tej podstawie wyznaczamy zbiory  $S_j$  i tworzymy kolejne listy (rodziny  $RKZ_k$ ) klas zgodnych (porównaj algorytm z rozdz. 1), które dla uproszczenia zapisów podawać będziemy w postaci zbiorów indeksów:

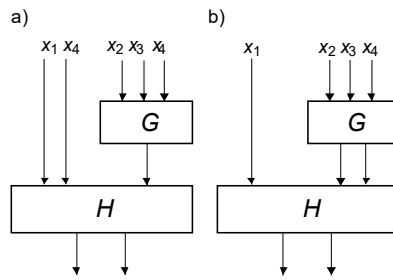
$S_1 = \phi$	$\{1\}$
$S_2 = \{1\}$	$\{1, 2\}$
$S_3 = \{1, 2\}$	$\{1, 2, 3\}$
$S_4 = \{3\}$	$\{3, 4\}, \{1, 2, 3\}$
$S_5 = \{1, 2, 3\}$	<del><math>\{3, 5\}</math></del> , $\{1, 2, 3, 5\}, \{3, 4\}$
$S_6 = \{4, 5\}$	$\{5, 6\}, \{4, 6\}, \{1, 2, 3, 5\}, \{3, 4\}$
$S_7 = \{3, 4, 6\}$	<del><math>\{6, 7\}</math></del> , $\{4, 6, 7\}, \{3, 7\}, \{3, 4, 7\}, \{5, 6\}, \{1, 2, 3, 5\}$

W obliczeniach powyższych przekreśleniem zaznaczyliśmy zbiory, które są usuwane na mocy definicji maksymalnych klas zgodnych. Dysponując nakryciem  $\beta_G$ , łatwo już wyznaczyć tablice funkcji  $G$  i  $H$ . Podane są one odpowiednio w tablicach 3.27a i 3.27b.

Tablica 1.27

<b>a)</b>	<table style="border-collapse: collapse; width: 100%;"> <thead> <tr> <th style="padding: 2px 5px;"><math>x_2</math></th> <th style="padding: 2px 5px;"><math>x_3</math></th> <th style="padding: 2px 5px;"><math>x_4</math></th> <th style="padding: 2px 5px;"><math>g</math></th> </tr> </thead> <tbody> <tr><td style="padding: 2px 5px;">0</td><td style="padding: 2px 5px;">0</td><td style="padding: 2px 5px;">0</td><td style="padding: 2px 5px;">0</td></tr> <tr><td style="padding: 2px 5px;">0</td><td style="padding: 2px 5px;">0</td><td style="padding: 2px 5px;">1</td><td style="padding: 2px 5px;">0</td></tr> <tr><td style="padding: 2px 5px;">0</td><td style="padding: 2px 5px;">*</td><td style="padding: 2px 5px;">0</td><td style="padding: 2px 5px;">0</td></tr> <tr><td style="padding: 2px 5px;">*</td><td style="padding: 2px 5px;">1</td><td style="padding: 2px 5px;">1</td><td style="padding: 2px 5px;">1</td></tr> <tr><td style="padding: 2px 5px;">1</td><td style="padding: 2px 5px;">0</td><td style="padding: 2px 5px;">1</td><td style="padding: 2px 5px;">0</td></tr> <tr><td style="padding: 2px 5px;">1</td><td style="padding: 2px 5px;">1</td><td style="padding: 2px 5px;">0</td><td style="padding: 2px 5px;">1</td></tr> <tr><td style="padding: 2px 5px;">1</td><td style="padding: 2px 5px;">1</td><td style="padding: 2px 5px;">1</td><td style="padding: 2px 5px;">1</td></tr> </tbody> </table>	$x_2$	$x_3$	$x_4$	$g$	0	0	0	0	0	0	1	0	0	*	0	0	*	1	1	1	1	0	1	0	1	1	0	1	1	1	1	1			
$x_2$	$x_3$	$x_4$	$g$																																	
0	0	0	0																																	
0	0	1	0																																	
0	*	0	0																																	
*	1	1	1																																	
1	0	1	0																																	
1	1	0	1																																	
1	1	1	1																																	
<b>b)</b>	<table style="border-collapse: collapse; width: 100%;"> <thead> <tr> <th style="padding: 2px 5px;"><math>x_1</math></th> <th style="padding: 2px 5px;"><math>x_4</math></th> <th style="padding: 2px 5px;"><math>g</math></th> <th style="padding: 2px 5px;"><math>y_1</math></th> <th style="padding: 2px 5px;"><math>y_2</math></th> </tr> </thead> <tbody> <tr><td style="padding: 2px 5px;">0</td><td style="padding: 2px 5px;">0</td><td style="padding: 2px 5px;">0</td><td style="padding: 2px 5px;">1</td><td style="padding: 2px 5px;">1</td></tr> <tr><td style="padding: 2px 5px;">*</td><td style="padding: 2px 5px;">0</td><td style="padding: 2px 5px;">1</td><td style="padding: 2px 5px;">0</td><td style="padding: 2px 5px;">0</td></tr> <tr><td style="padding: 2px 5px;">0</td><td style="padding: 2px 5px;">1</td><td style="padding: 2px 5px;">0</td><td style="padding: 2px 5px;">1</td><td style="padding: 2px 5px;">1</td></tr> <tr><td style="padding: 2px 5px;">*</td><td style="padding: 2px 5px;">1</td><td style="padding: 2px 5px;">1</td><td style="padding: 2px 5px;">0</td><td style="padding: 2px 5px;">1</td></tr> <tr><td style="padding: 2px 5px;">1</td><td style="padding: 2px 5px;">0</td><td style="padding: 2px 5px;">0</td><td style="padding: 2px 5px;">1</td><td style="padding: 2px 5px;">0</td></tr> <tr><td style="padding: 2px 5px;">*</td><td style="padding: 2px 5px;">1</td><td style="padding: 2px 5px;">0</td><td style="padding: 2px 5px;">1</td><td style="padding: 2px 5px;">1</td></tr> </tbody> </table>	$x_1$	$x_4$	$g$	$y_1$	$y_2$	0	0	0	1	1	*	0	1	0	0	0	1	0	1	1	*	1	1	0	1	1	0	0	1	0	*	1	0	1	1
$x_1$	$x_4$	$g$	$y_1$	$y_2$																																
0	0	0	1	1																																
*	0	1	0	0																																
0	1	0	1	1																																
*	1	1	0	1																																
1	0	0	1	0																																
*	1	0	1	1																																

W wielu przypadkach dekompozycja szeregową z przecinającymi się zbiorami  $U$  i  $V$  – zwana często dekompozycją nierozłączną – jest pożyteczna. Załóżmy realizację funkcji z powyższego przykładu na komórkach FPGA o strukturze: 3 wejścia, 1 wyjście. Obliczona dekompozycja nierozłączna (rys. 3.16a) wymaga do całkowitej realizacji tej zdekomponowanej funkcji 3 komórek: jedną do funkcji  $G$  i dwie do funkcji  $H$  (po jednej na każde wyjście). Dekompozycja rozłączna o strukturze  $H(x_1, x_2, G(x_3, x_4))$ , również wymagałaby do swojej realizacji 3 komórek; niestety, taka dekompozycja nie istnieje. Istnieje natomiast dekompozycja rozłączna  $H(x_1, G(x_2, x_3, x_4))$  – rys. 3.16b, w której funkcja  $G$  ma 2 wyjścia, i dla tego jej realizacja wymaga aż 4 komórek (dwóch dla funkcji  $G$  i dwóch dla  $H$ ).



Rys. 1.16. Dekompozycja szeregowo: a) nierozłączna; b) rozłączna

## 1.4 Dekompozycja liniowa

Dekompozycja liniowa polega na łączeniu zmiennych w pary i wprowadzaniu ich za pośrednictwem bramek EXOR do głównego układu realizującego detekcję i klasyfikację (czyli indeksowanie) danych. Jest to istotne, gdyż prowadzi do dalszego redukowania liczby wejść w generatorach indeksu. I pewnie z tych powodów dekompozycja liniowa jest intensywnie wykorzystywana w syntezie funkcji generowania indeksów [3.20].

W dotychczasowych rozwiązaniach problem dekompozycji liniowej ogranicza się do syntezy silnie nieokreślonych funkcji boolowskich, o specyficznej własności:  $|D^n| = k$ . Ograniczenie tego problemu do funkcji, w których wszystkie wektory wyjściowe są różne, jest niepotrzebne, gdyż problem ten można sprowadzić do ogólniejszego zadania syntezy systemów funkcji boolowskich o dowolnych wyjściach. Inaczej mówiąc lepiej przyjąć założenie, że liczność zbioru wektorów wyjściowych  $Y$  funkcji  $F$  jest  $\leq |D^n|$ .

Ogólnie rzecz biorąc problem można sprowadzić do wskazania warunków jakie muszą być spełnione, aby funkcja  $F$  posiadała dekompozycję z dwu-argumentowymi funkcjami  $G$ .

$$F = H(G_1(X_1), G_2(X_2), \dots, x_n),$$

gdzie:  $X_1 = \{x_{i_1}, x_{i_2}\}$ ,  $X_2 = \{x_{i_3}, x_{i_4}\}$ ,

Funkcję  $G$  nazywać można  $g$ -argumentem, stosownie do ogólnej teorii dekompozycji funkcji boolowskich. Przyjmujemy również założenie, że w dekompozycji liniowej stosujemy funkcje o zredukowanej liczbie argumentów, czyli tzw. minimalno-argumentowe reprezentacje funkcji  $F$ .

Przy tak postawionym zagadnieniu wygodne jest stosowanie uporządkowanego i zwartego sposobu reprezentowania funkcji, jakim jest rachunek podziałów. Szczegóły dotyczące tego sposobu przedstawiana funkcji zostały już omówione w rozdz. 1.4 i nie będą tu dyskutowane. Niezbędne jest jednak krótkie przypomnienie, gdyż własności podziałów będą wykorzystywane do skonstruowania metody syntezy układów bramkowych, omawianej w dalszej części artykułu.

Rozpatrzmy funkcję logiczną zdefiniowaną w tab. 3.28, w której symbole  $T: 1,2,\dots,11$  reprezentują wektory,  $x_1,\dots,x_5$  reprezentują zmienne wejściowe, zaś  $y$  – zmienną wyjściową.

Dla tego przykładu, różne wartości, przyjmowane przez zmienną wejściową  $x_4$ , wyznaczają podzbiory wektorów  $\{1,5,7,8\}$  i  $\{2,3,4,6,9,10,11\}$ . Dla wektorów  $1,5,7$  i  $8$ ,  $x_4 = 0$ , dla  $2,3,4,6,9,10,11$ ,  $x_4 = 1$ . Zatem wiedząc, że  $x_4 = 0$ , wiemy, że wybrany został wektor  $1,5,7$  lub  $8$ , nie wiemy jednak który z nich. Analogicznie wiedząc, że  $x_3 = 1$  wiemy, że wybrano symbol  $2,4,5$  lub  $8$ , nie jesteśmy jednak w stanie wskazać, który z nich konkretnie. W ten sposób informacja modelowana jest przez podziały, pokrycia i systemy zbiorów.

Tablica 1.28

$T$	$x_1$	$x_2$	$x_3$	$x_4$	$x_5$	$y$
1	0	0	0	0	0	0
2	0	0	1	1	1	0
3	0	1	0	1	0	0
4	0	1	1	1	1	0
5	0	1	1	0	0	0
6	0	0	0	1	1	1
7	0	1	0	0	0	1
8	0	1	1	0	1	1
9	1	1	0	1	0	1
10	1	0	0	1	1	1
11	1	0	0	1	0	1

### PRZYKŁAD 3.12

Dla funkcji z tab. 3.29 podziały wejściowe i wyjściowy są następujące

$$P(x_1) = \{\overline{1,2,3,4,5,6,7,8}; \overline{9,10,11}\},$$

$$P(x_2) = \{\overline{1,2,6,10,11}; \overline{3,4,5,7,8,9}\},$$

$$P(x_3) = \{\overline{1,3,6,7,9,10,11}; \overline{2,4,5,8}\},$$

$$P(x_4) = \{\overline{1,5,7,8}; \overline{2,3,4,6,9,10,11}\},$$

$$P(x_5) = \{\overline{1,3,5,7,9,11}; \overline{2,4,6,8,10}\},$$

$$P_F = \{\overline{1, \dots, 5}; \overline{6, \dots, 11}\},$$

W celu uproszczenia zapisów wektory  $a, b \in \{0,1\}^n : F(a) \neq F(b)$ , będą reprezentowane liczbami  $p, q \in K = \{1, \dots, |D^n|\}$ .

Niech  $F$  będzie wielowyjściową funkcją boolowską, gdzie zbiór zmiennych  $X = (x_1, \dots, x_n)$ , zbiór wektorów (mintermów)  $M = (m_1, \dots, m_t)$ . Przez  $C_{pq}$ , gdzie  $p, q$  są wektorami z  $M$ , dla których  $F(p) \neq F(q)$  oznaczamy zbiór niezgodności, definiowany jak następuje:

$$C_{pq} = \{x \in X : x(p) \neq x(q)\} \text{ dla } p, q = 1, \dots, t \text{ and } p < q. \quad (3-3)$$

Rodzinę zbiorów  $C = (C_1, \dots, C_n)$ , dla wszystkich  $C_{pq}$  oznaczać będziemy  $RC_{pq}$ . W obliczeniach par zmiennych tworzących dekompozycję liniową posługiwać się będziemy rodziną zbiorów  $C_{pq}$ .

Problem wyznaczenia odpowiednich warunków, oparty jest na pojęciu funkcji rozdzielającej. O funkcji  $g$  będziemy mówić, że jest funkcją rozdzielającą (dystrybucją) pary wektorów  $p, q$  wtedy i tylko wtedy, gdy  $p$

i  $q$  należą do różnych bloków podziału  $P(g)$ . W uproszczeniu można powiedzieć, że w takim przypadku funkcja  $g$  umożliwia rozdzielenie wektorów  $p$  i  $q$ .

Z przyjętej definicji wynika, że każda jednoargumentowa funkcja  $g(x_j) = x_j$ , gdzie  $x_j \in C_{pq}$  jest dystrybucją  $p, q$ . Ponadto jeśli  $g$  rozdziela parę  $p, q$ , to również parę tę rozdziela funkcja  $\bar{g}$ .

Wykorzystując powyższe ustalenia można teraz warunkowi dekompozycji nadać wygodniejszą postać:  $F = H(g_1, g_2, \dots, g_t)$  wtedy i tylko wtedy, gdy dla każdej pary  $p, q$ : takiej, że  $(p, q)$  nie jest zawarta w jednym bloku podziału charakterystycznego  $P_F$  istnieje  $g_j$  rozdzielająca parę  $p, q$ . Zalety tego warunku zostaną obecnie wykorzystane do sformułowania metodyki syntezy układów w których argumenty  $z X = (x_1, \dots, x_n)$  łączone będą w pary i wprowadzane do układu  $H$  za pośrednictwem funkcyj  $g(x_i, x_j)$  tzn.  $F = H(g_1, g_2, \dots, g_t, x_a, x_b \dots)$ .

Wykorzystując powyższe ustalenia można zaproponować sposób prowadzenia syntezy logicznej jako dekompozycję bezpośrednio na bramki, w odróżnieniu od dekompozycji funkcjonalnej, w której składowe są funkcjami opisanymi tablicami prawdy. Możliwe jest obliczenie podziału  $P(g)$  dla dowolnej funkcji o skończonej liczbie zmiennych wejściowych i w następnym kroku usunięcie wszystkich zbiorów  $C_{pq}$ , dla których  $g$  nie jest dystrybucją. Obliczamy w ten sposób dekompozycję funkcji  $F$  i zapisujemy ją w postaci:

$$F = H(G(x_{i_1}, \dots, x_{i_t}), \dots, x_{i_n}).$$

Liczba argumentów funkcji  $H$  wynosi w tym przypadku co najwyżej  $n - 1$ , w związku z czym proces prowadzi do zmniejszenia złożoności funkcji.

### TWIERDZENIE 3.7

Funkcja  $g = x_i \oplus x_j$  jest funkcją rozdzielającą (dystrybucją) parę  $(p, q)$  wtedy i tylko wtedy gdy  $\{x_i, x_j\} \notin C_{pq}$  i  $|\{x_i, x_j\} \cap C_{pq}| = 1$ .

Powyższe twierdzenie prowadzi do prostej metody dekomponowania funkcji i wyznaczania  $g = g(x_i, x_j)$  bezpośrednio ze zbiorów  $C_{pq}$  i podziałów  $P(x_i)$ , np. podziałów generowanych przez funkcję jednoargumentową  $g(x_i) = x_i$ .

Zgodnie z koncepcją funkcji rozdzielającej, opracowany został prosty test weryfikujący istnienie dekompozycji liniowej.

### TEST 3.1

$G = x_i \oplus x_j$  jest dekompozycją funkcji  $F$ , wtedy i tylko wtedy, gdy  $\{x_i, x_j\} \notin RC_{pq}$ , gdzie  $RC_{pq}$  jest rodziną zbiorów  $C_{pq}$ , dla których  $p$  oraz  $q$  należą do różnych bloków podziału wyjściowego  $P_F$ .

### PRZYKŁAD 3.13

Dla funkcji  $F$  z tabeli 3.28 rodzinę  $RC_{pq}$  ograniczoną do zbiorów dwuelementowych zapisano w tabeli 3.29.

Łatwo zauważyć, że  $RC_{pq}$  nie zawiera 3 następujących par:  $x_1, x_5$ ;  $x_3, x_4$ ;  $x_3, x_5$ .

Tablica 1.29

$p, q$	$C_{pq}$
1,6	$x_4, x_5$
1,11	$x_1, x_4$
2,8	$x_2, x_4$
2,10	$x_1, x_3$
3,6	$x_2, x_5$
3,11	$x_1, x_2$
4,6	$x_2, x_3$

Stąd wniosek, że możliwe są  $g$ -argumenty reprezentowane przez dekompozycje funkcji  $F$ :

$$F = H(x_1 \oplus x_5, x_2, x_3, x_4); F = H(x_3 \oplus x_4, x_1, x_2, x_5); F = H(x_3 \oplus x_5, x_1, x_2, x_4).$$

Proces obliczania dekompozycji liniowej może być wykonywany iteracyjnie, aż do uzyskania dekompozycji  $F = H(g_1, g_2, \dots, X)$  z maksymalną liczbą funkcji  $G$ , co zapewnia minimalną liczbę argumentów dla funkcji  $H$ , oczywiście łącznie z  $g$ -argumentami typu EXOR.

Twierdzenie 3.7 i test 3.1 można uogólnić na przypadek tzw. dekompozycji wielokrotnej. Wtedy dodatkowym warunkiem na istnienie dekompozycji z parą funkcji  $\{x_i \oplus x_j, x_k \oplus x_l\}$ , jest sprawdzenie czy zbiór zmiennych  $\{x_i, x_j, x_k, x_l\}$  jest zawarty w rodzinie  $RC_{pq}$ .

Dla uproszczenia zapisów uzupełnienie  $RC_{pq}$  względem rodziny wszystkich podzbiorów o liczności równej liczności analizowanych  $C_{pq}$  oznaczają będziemy  $COM(RC_{pq})$ .

Dla funkcji z przykładu 3.12 w celu sprawdzenia, które  $g$ -argumenty mogą tworzyć dekompozycję wielokrotną (w tym przypadku podwójną), należy obliczyć cztero-elementowe zbiory  $RC_{pq}$ . W wyniku uzyskujemy, że wszystkie cztero-elementowe zbiory  $RC_{pq}$  są:  $\{x_2, x_3, x_4, x_5\}$ ,  $\{x_1, x_2, x_3, x_5\}$ ,  $\{x_1, x_2, x_3, x_4\}$ . Zatem uzupełnienie  $COM(RC_{pq})$  zawiera dwa zbiory  $\{\{x_1, x_2, x_4, x_5\}, \{x_1, x_3, x_4, x_5\}\}$  i jeden z nich reprezentuje zmienne  $g$ -argumentów  $x_1 \oplus x_5, x_3 \oplus x_4$ . Na tej podstawie stwierdzamy, że funkcja z przykładu 3.12 ma dekompozycję:  $F = H(x_1 \oplus x_5, x_3 \oplus x_4, x_2)$ .

Inne uogólnienie Twierdzenia 3.7 dotyczy dekompozycji nierozłącznej. W tym przypadku dodatkowy warunek na istnienie dekompozycji z parą funkcji  $\{x_i \oplus x_j, x_j \oplus x_k\}$  polega na sprawdzeniu, czy zbiór zmiennych  $\{x_i, x_j, x_k\}$  jest zawarty w rodzinie  $RC_{pq}$ .

Omówioną metodykę obliczania dekompozycji liniowej skonfrontujemy teraz z algorytmem zaproponowanym w [3.20]. Obliczenia przeprowadzimy dla funkcji reprezentującej koder 1 z 10 – tab. 3.30.

**Tablica 1.30**

	$x_1$	$x_2$	$x_3$	$x_4$	$x_5$	$x_6$	$x_7$	$x_8$	$x_9$	$x_{10}$	$y_1$	$y_2$	$y_3$	$y_4$	$y_5$	$y_6$
1	1	0	0	0	0	0	0	0	0	0	1	0	0	0	0	0
2	0	1	0	0	0	0	0	0	0	0	0	0	0	0	0	0
3	0	0	1	0	0	0	0	0	0	0	0	1	1	0	0	0
4	0	0	0	1	0	0	0	0	0	0	0	0	0	1	1	0
5	0	0	0	0	1	0	0	0	0	0	0	0	0	0	0	1
6	0	0	0	0	0	1	0	0	0	0	1	0	0	0	0	1
7	0	0	0	0	0	0	1	0	0	0	0	1	0	0	0	0
8	0	0	0	0	0	0	0	1	0	0	0	0	0	1	0	0
9	0	0	0	0	0	0	0	0	1	0	0	0	1	0	0	0
10	0	0	0	0	0	0	0	0	0	1	0	0	0	0	1	0

Dla funkcji tej w [3.20] obliczono dekompozycję liniową z 6  $g$ -argumentami, które w tab. 3.30 oznaczono  $y_1, \dots, y_6$ :

$$F = H(x_1 \oplus x_6, x_3 \oplus x_7, x_3 \oplus x_9, x_4 \oplus x_8, x_4 \oplus x_{10}, x_5 \oplus x_6)$$

Obliczenia wykonano za pomocą heurystycznego algorytmu  $s$ -min. Ponieważ w uzyskanym rozwiązaniu nie ma zmiennej  $x_2$ , wygodnie będzie wprowadzić nowe oznaczenia zmiennych, zgodnie z tabelą 3.31.

**Tablica 1.31**

$x_1$	$x_3$	$x_4$	$x_5$	$x_6$	$x_7$	$x_8$	$x_9$	$x_{10}$
$a_1$	$a_2$	$a_3$	$a_4$	$a_5$	$a_6$	$a_7$	$a_8$	$a_9$

Przy tych oznaczeniach uzyskuje się nowa tablicę kodera podaną w tabeli 3.32, jak też nowe wyrażenie na uzyskaną w [3.20] dekompozycję:

$$F = H(a_1 \oplus a_5, a_2 \oplus a_6, a_2 \oplus a_8, a_3 \oplus a_7, a_3 \oplus a_9, a_4 \oplus a_5)$$

Tablica 1.32

	$a_1$	$a_2$	$a_3$	$a_4$	$a_5$	$a_6$	$a_7$	$a_8$	$a_9$
1	1	0	0	0	0	0	0	0	0
2	0	0	0	0	0	0	0	0	0
3	0	1	0	0	0	0	0	0	0
4	0	0	1	0	0	0	0	0	0
5	0	0	0	1	0	0	0	0	0
6	0	0	0	0	1	0	0	0	0
7	0	0	0	0	0	1	0	0	0
8	0	0	0	0	0	0	1	0	0
9	0	0	0	0	0	0	0	1	0
10	0	0	0	0	0	0	0	0	1

Dla uproszczonego wg tabeli 3.32 kodera 1 z 10 obliczamy rodzinę  $RC_{pq}$ , a następnie  $COM(RC_{pq})$ . W wyniku uzyskujemy: uzupełnienie rodziny  $RC_{pq}$  ma pusty zbiór par, ale zawiera wszystkie możliwe (84) podzbiory trój-elementowe zbioru  $\{a_1, a_2, a_3, a_4, a_5, a_6, a_7, a_8, a_9\}$ . Stąd wniosek, że dla kodera 1 z 10 istnieje dekompozycja nierozłączna wielokrotna reprezentowana

trójelementowymi podzbiórami zbioru  $\{a_1, a_2, a_3, a_4, a_5, a_6, a_7, a_8, a_9\}$ , czyli

$$F = H(a_i \oplus a_j, a_j \oplus a_k, a_l \oplus a_m, a_m \oplus a_n, a_p \oplus a_q, a_q \oplus a_r) \quad (3-4)$$

Tym samym potwierdza to istnienie dekompozycji:

$$F = H(a_1 \oplus a_5, a_2 \oplus a_6, a_2 \oplus a_8, a_3 \oplus a_7, a_3 \oplus a_9, a_4 \oplus a_5)$$

uzyskanej w [3.20], przy czym należy podkreślić, że dekompozycja taka istnieje dla wszystkich możliwych trójek:

$$a_i a_j a_k,$$

$$a_l a_m a_n,$$

$$a_p a_q a_r$$

Zatem przy zastosowaniu metody z [3.20] znalezienie jakiegokolwiek rozwiązania nie było trudne.



### PRZYKŁAD 3.14

Wykazana własność dekompozycji (wg (3-4)) pozwala zapisać dekompozycję kodera 1 z 10 w naturalnym porządku zmiennych

$$F = H(a_1 \oplus a_2, a_2 \oplus a_3, a_4 \oplus a_5, a_5 \oplus a_6, a_7 \oplus a_8, a_8 \oplus a_9) = H(b_1, b_2, b_3, b_4, b_5, b_6), \quad (3-5)$$

któremu odpowiada tablica indeksów przedstawiona w tabeli 3.33.

Tablica 1.33

$b_1$	$b_2$	$b_3$	$b_4$	$b_5$	$b_6$	$f$
1	0	0	0	0	0	1
0	0	0	0	0	0	2
1	1	0	0	0	0	3
0	1	0	0	0	0	4
0	0	1	0	0	0	5
0	0	1	1	0	0	6
0	0	0	1	0	0	7
0	0	0	0	1	0	8
0	0	0	0	1	1	9
0	0	0	0	0	1	10

W rozwiązaniu tym indeksy są reprezentowane wektorami 6-bitowymi  $b_1 b_2 b_3 b_4 b_5 b_6$ .

Można przypuszczać, że stosując raz jeszcze metodykę zbiorów niezgodności uzyskamy rozwiązanie z mniejszą liczbą bitów. Ponieważ rodzina zbiorów niezgodności zawiera wszystkie możliwe pary  $b_i b_j$ , 12 zbiorów trójelementowych oraz żadnego zbioru 5 i 6 elementowego, znalezienie dekompozycji liniowej jest możliwe wyłącznie dla funkcji typu  $\{x_i \oplus x_j, x_j \oplus x_k\}$ .

Z przeglądu w  $RC_{pq}$  zbiorów trójelementowych:

1.  $b_1, b_3, b_4$ ;
2.  $b_1, b_5, b_6$ ;
3.  $b_1, b_2, b_3$ ;
4.  $b_1, b_2, b_4$ ;
5.  $b_1, b_2, b_5$ ;
6.  $b_1, b_2, b_6$ ;
7.  $b_2, b_3, b_4$ ;
8.  $b_2, b_5, b_6$ ;
9.  $b_3, b_5, b_6$ ;
10.  $b_3, b_4, b_5$ ;
11.  $b_3, b_4, b_6$ ;
12.  $b_4, b_5, b_6$ ;

### PRZYKŁAD 3.14 c.d.

wynika, że trójelementowymi zbiorami  $b_i, b_j, b_k$  możliwymi do utworzenia dekompozycji nierozłącznej są  $\{b_1, b_3, b_5\}, \{b_1, b_3, b_6\}, \{b_1, b_4, b_5\}, \{b_1, b_4, b_6\}, \{b_2, b_3, b_5\}, \{b_2, b_3, b_6\}, \{b_2, b_4, b_5\}, \{b_2, b_4, b_6\}$ . Ponieważ są wśród nich dwa zbiory rozłączne:  $\{b_1, b_3, b_5\}$  i  $\{b_2, b_4, b_6\}$ , a ponadto w  $\text{COM}(RC_{pq})$  jest zbiór 6 elementowy  $b_1, b_2, b_3, b_4, b_5, b_6$ , spełnione są warunki istnienia dekompozycji:  $F = H(b_1 \oplus b_3, b_3 \oplus b_5, b_2 \oplus b_4, b_4 \oplus b_6)$ . W rezultacie indeksy kodera 1 z 10 są 4-bitowe (tab. 3.34) i jest to rozwiązanie lepsze niż w [3.20].

Tablica 1.34

$y_1$	$y_2$	$y_3$	$y_4$	$h$
1	0	0	0	1
0	0	0	0	2
1	0	1	0	3
0	0	1	0	4
1	1	0	0	5
1	1	1	1	6
0	0	1	1	7
0	1	0	0	8
0	1	0	5	9
0	0	0	1	10

## 3.5 Dekompozycja równoległa

Dekompozycja funkcjonalna jest – podobnie jak redukcja argumentów – metodą syntezy logicznej, dostosowaną do implementacji na komórkach FPGA i pamięciach ROM. W związku z tym jej stosowanie w projektowaniu układów cyfrowych staje się coraz bardziej znaczące. W [3-20] problem dekompozycji określa się jako jedno z najpilniejszych zadań syntezy logicznej.

W szczególności proponuje się dalsze rozwijanie metody dekompozycji, polegającej na stosowaniu tzw. tablic dekompozycji (*Decomposition Chart*). Wydaje się jednak, że metoda zaproponowana w niniejszym rozdziale (podrozdz. 3.1, 3.2 oraz 3.3) jest znacznie skuteczniejsza. Jej zaletą jest stosowanie rachunku podziałów, co umożliwi sformułowanie wygodnego praktyce twierdzenia (Twierdzenie 3.3), w którym warunek wystarczający dekompozycji polega na wyznaczeniu podziałów na zbiorze ponumerowanych wektorów tablicy funkcji. Twierdzenie to wyraźnie wskazuje, że istotnym ograniczeniem dekompozycji jest podział wyjściowy funkcji ( $P_F$ ) – im drobniejszy jest podział  $P_F$ , tym trudniejsze jest spełnienie warunku dekompozycji  $P_U \cdot \Pi_G \leq P_F$ . Stąd pomysł uzupełnienia procesu dekompozycji funkcjonalnej – dekompozycją równoległą.

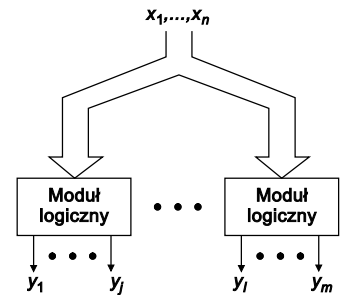
Dekompozycja równoległa w układzie opisanym przez:

$$(y_1, \dots, y_m) = F(x_1, \dots, x_n) \quad (3-5)$$

to podział zbioru  $\{y_1, \dots, y_m\}$  na takie rozłączne podzbiory  $Y_1, \dots, Y_i, \dots, Y_k$ , z których każdy można zrealizować w układzie kombinacyjnym o argumentach odpowiednio  $X_1, \dots, X_i, \dots, X_k$ , gdzie  $X_i \subseteq \{x_1, \dots, x_n\}$ .

Sens powyższej dekompozycji wynika z ograniczeń konstrukcyjnych produkowanych modułów PLD i FPGA. Jeśli bowiem liczba wyjść, np. modułu PLD jest mniejsza od  $m$ , to do realizacji układu opisanego przez (3-5) można przeznaczyć (w zależności od  $m$ ) kilka modułów, uzyskując w rezultacie układ pokazany na rys. 3.17. W układzie tym wyjścia  $y_i$  trzeba odpowiednio rozdzielić na poszczególne moduły. Wskazane jest, aby zbiór  $\{y_1, \dots, y_m\}$  rozdzielić na takie podzbiory  $Y_i$ , dla których odwzorowanie  $Y_i = h_i(X_i)$  wymagałoby możliwie najmniejszej liczby argumentów  $X_i$ , przy czym  $X_i \subseteq \{x_1, \dots, x_n\}$ ,  $Y_i \subseteq \{y_1, \dots, y_m\}$ .

Pełną informację o rozdziale zbioru  $Y = \{y_1, \dots, y_m\}$  na podzbiory  $Y_1, \dots, Y_k$  uzyskać można z minimalno-argumentowych realizacji poszczególnych wyjść  $y_i$ .



Rys. 1.17. Dekompozycja równoległa

### PRZYKŁAD 3.15

Dla funkcji  $F$  z tablicy 3.35 redukty poszczególnych (pojedynczych) funkcji są odpowiednio:

$$y_1: \{x_1, x_2, x_6\}$$

$$y_2: \{x_3, x_4\}$$

$$y_3: \{x_1, x_2, x_4, x_5, x_8\}, \{x_1, x_2, x_4, x_6, x_8\}$$

$$y_4: \{x_1, x_2, x_3, x_4, x_7\}$$

$$y_5: \{x_1, x_2, x_4\}$$

$$y_6: \{x_1, x_2, x_6, x_8\}$$

Tablica 1.35

	$x_1$	$x_2$	$x_3$	$x_4$	$x_5$	$x_6$	$x_7$	$x_8$	$y_1$	$y_2$	$y_3$	$y_4$	$y_5$	$y_6$
1	0	0	0	1	1	1	0	0	0	0	0	0	–	0
2	1	0	1	0	0	0	0	0	0	0	–	1	0	1
3	1	0	1	1	1	0	0	0	0	1	1	0	1	1
4	1	1	1	1	0	1	0	0	0	0	1	1	1	0
5	1	0	1	0	1	0	0	0	0	0	0	–	0	1
6	0	0	1	1	1	0	0	0	1	1	0	1	0	0
7	1	1	1	0	0	0	0	0	1	0	–	0	1	0
8	1	0	1	1	0	1	0	0	1	1	0	0	–	1
9	1	0	1	1	0	1	1	0	–	1	0	1	–	1
10	0	0	0	1	1	1	0	1	0	0	1	0	–	1
11	0	0	0	1	1	0	0	1	–	–	1	0	0	0

Zatem rozsądnie jest funkcji  $G_1$  przyporządkować wyjścia  $y_1, y_3, y_6$ , a funkcji  $G_2$  wyjścia  $y_2, y_4, y_5$  (rys. 3.18), gdyż wtedy uzyska się minimalne zbiory argumentów dla komponentów  $G_1$  i  $G_2$  dekompozycji równoległej funkcji  $F$ , a mianowicie  $\{x_1, x_2, x_4, x_6, x_8\}$  dla  $G_1$  oraz  $\{x_1, x_2, x_3, x_4, x_7\}$  dla  $G_2$ . Tablice funkcji  $G_1$  i  $G_2$  są podane w tablicach 3.36a i 3.36b.

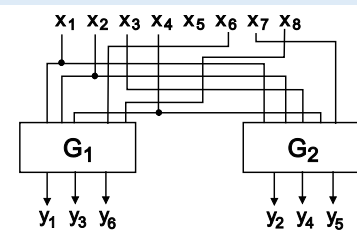
Tablica 1.36

a)

	$x_1$	$x_2$	$x_4$	$x_6$	$x_8$	$y_1$	$y_3$	$y_6$
1	0	0	1	1	0	0	0	0
2	1	0	0	0	0	0	0	1
3	1	0	1	0	0	0	1	1
4	1	1	1	1	0	0	1	0
5	0	0	1	0	0	1	0	0
6	1	1	0	0	0	1	1	0
7	1	0	1	1	0	1	0	1
8	0	0	1	1	1	0	1	1
9	0	0	1	0	1	–	1	0

b)

	$x_1$	$x_2$	$x_3$	$x_4$	$x_7$	$y_2$	$y_4$	$y_5$
1	0	0	0	1	0	0	0	0
2	1	0	1	0	0	0	1	0
3	1	0	1	1	0	1	0	1
4	1	1	1	1	0	1	1	1
5	0	0	1	1	0	1	1	0
6	1	1	1	0	0	0	0	1
7	1	0	1	1	1	1	1	–



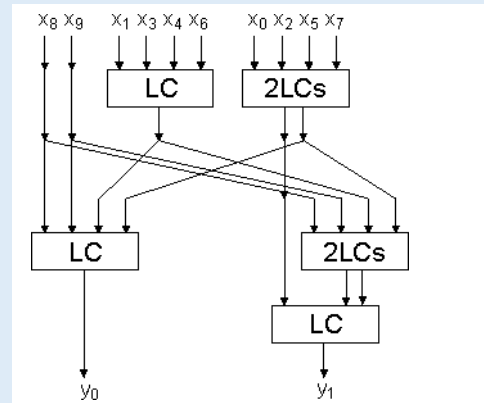
Rys. 1.18. Dekompozycja równoległa funkcji z przykładu 3.15

### PRZYKŁAD 3.16

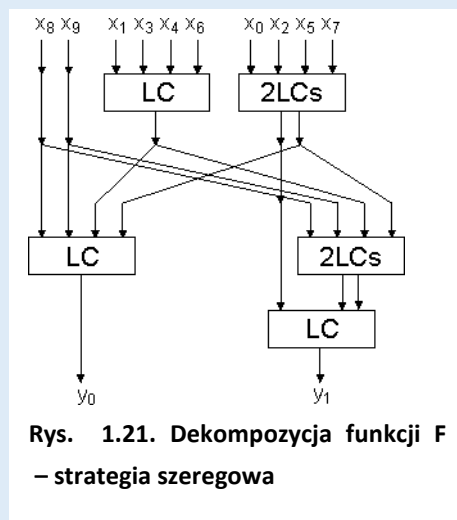
Wpływ dekompozycji zrównoważonej na ostateczny wynik syntezy w układzie FPGA zostanie pokazany na przykładzie pewnej funkcji  $F$  z 10 wejściami i 2 wyjściami (tab. 3.37), którą realizujemy w komórkach o 4 wejściach i 1 wyjściu (w uproszczeniu oznaczanych (4,1)).

Tablica 1.37

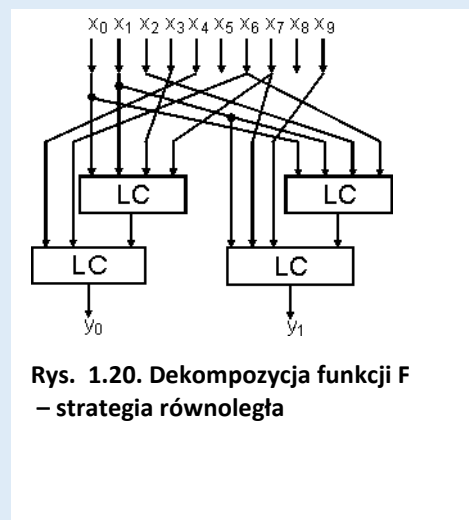
```
.type fr
.i 10
.o 2
.p 25
0101000000 00
1110100100 00
0010110000 10
0101001000 10
1110101101 01
0100010101 01
1100010001 00
0011101110 01
0001001110 01
0110000110 01
1110110010 10
0111100000 00
0100011011 00
0010111010 01
0110001110 00
0110110111 11
0001001011 11
1110001110 10
0011001011 10
0010011010 01
e.
```



Rys. 1.19. Dekompozycja funkcji  $F$  – strategia szeregową



Rys. 1.21. Dekompozycja funkcji  $F$  – strategia szeregową



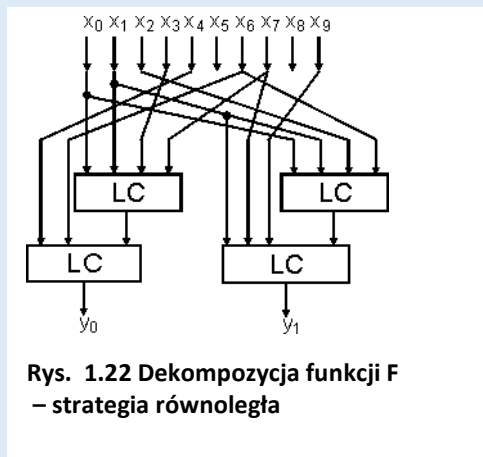
Rys. 1.20. Dekompozycja funkcji  $F$  – strategia równoległą

Skoro funkcja  $F$  ma 10 wejść i 2 wyjścia, pierwszym krokiem dekompozycji może być dekompozycja równoległa lub szeregową. Jednak w tym przypadku zastosujemy dekompozycję szeregową. Algorytm wydzieliła funkcję  $G$  mającą wejścia  $x_1, x_3, x_4$  i  $x_6$ . Następny krok dotyczy więc funkcji 7-wejściowej  $H$ , dla której ponownie jest wykonywana dekompozycja szeregową. Otrzymujemy blok  $G$  o 4 wejściach i 2 wyjściach (implementowany przez 2 komórki). Blok  $G$  ma na wejściu zmienne  $x_0, x_2, x_5$ , and  $x_7$ . Są to pierwotne zmienne wejściowe i na tym etapie nie jest zwiększona liczba poziomów, co widać na rys. 3.19.

W następnym kroku dokonujemy dekompozycji równoległej. Tworzy ona dwa komponenty, każdy o jednym wyjściu, natomiast odpowiednio o 4 i 5 wejściach. Pierwszy komponent realizuje pojedyncza komórka. Drugi komponent podlega dwupoziomowej dekompozycji szeregowej. Utworzona sieć może być zrealizowana za pomocą 7 komórek (4,1). Liczba poziomów ścieżki krytycznej wynosi 3.

### PRZYKŁAD 3.16 c.d.

Ta sama funkcja zdekomponowana tak, że najpierw wykonuje się dekompozycję równoległą, jest realizowana w zupełnie innej strukturze (rys. 3.20).



Dekompozycja równoległa zastosowana bezpośrednio dla funkcji  $F$  tworzy 2 komponenty o 6 wejściach i jednym wyjściu. Każdy z nich podlega dwupoziomowej dekompozycji szeregowej. Dla pierwszego z nich możliwa do zastosowania jest rozłączna dekompozycja szeregową z blokiem  $G_1(4,1)$ . Drugi komponent może być również zdekomponowany szeregowo, jednak liczba wyjść bloku  $G_2$  wynosi 2. Aby zmniejszyć łączną liczbę komórek, można zastosować dekompozycję nierozłączną, uzyskując tylko 4 komórki. Tablice prawdy tych komórek podane są w tabeli 3.38. Ta znacząca zmiana struktury wynika z tego, że dekompozycja równoległa zmniejsza liczbę wejść obu komponentów, prowadząc do uproszczenia końcowej implementacji.

**Tablica 1.38**

a) funkcja $G_1$	b) funkcja $H_1$	c) funkcja $G_2$	d) funkcja $H_2$
0110 1	-01 0	0110 1	10-1 0
1101 1	011 1	0011 1	-101 1
1000 1	111 0	0100 1	-111 1
0010 1	100 1	1000 1	0011 0
0000 0	0-0 0	0101 1	0001 1
0101 0	110 0	1100 0	1-00 0
1100 0		0010 0	0000 0
0100 0		1010 0	1110 1
0011 0		1110 0	1010 0
1011 0		0001 0	0100 1
1111 0		0111 0	0010 1
		1111 0	

Z powyższego przykładu wynika, że skuteczność dekompozycji w transformacji funkcji boolowskich na sieci komórek FPGA silnie zależy od scenariusza całego procesu dekompozycji, a w szczególności od kolejności wykonywania poszczególnych procedur, a także od parametrów składowej  $G$  oraz od rozdziału wyjść na komponenty dekompozycji równoległej.

## 1.5 Zadania

### ZADANIE 3.1.

Automat z tablicy 3.39 zrealizować na pamięci ROM o 4 wejściach adresowych. W rozwiązaniu podać tablicę prawdy UMA oraz organizację pamięci ROM.

Tablica 1.39

	$v_1$	$v_2$	$v_3$	$v_4$	$v_5$
$a$	$a$	$b$	$c$	$a$	$c$
$b$	–	–	$d$	$e$	$a$
$c$	$c$	$b$	$e$	–	$b$
$d$	$a$	$c$	$e$	$b$	$b$
$e$	$b$	–	$e$	$c$	$b$

### ZADANIE 3.2.

W tablicy 3.40 dana jest funkcja  $f(a,b,c,d,e)$ :

$$P_F = (\overline{1,10,17}; \overline{5,7,19}; \overline{6,8,14}; \overline{3,12,16}; \overline{2,13}; \overline{4,15}; \overline{9,18}; \overline{11,20}).$$

Należy obliczyć dekompozycję nierozłączną dla  $U = \{d, e\}$ . W rozwiązaniu podać tablice funkcji  $G$  oraz  $H$ . Kodowanie bloków  $P_F$  przyjąć dowolne wg NKB.

Tablica 1.40

$a b c \backslash d e$	00	01	11	10
000	1	2	–	3
001	4	5	6	–
011	–	7	8	9
010	10	–	11	12
110	–	13	14	–
111	15	–	–	16
101	17	–	–	18
100	–	19	20	–

### ZADANIE 3.3.

Wiedząc, że dla funkcji z tablicy 3.41 podziały  $P_1, P_3, P_5$  są 3-przydatne, a  $P_2, P_4$  – 4-przydatne, obliczyć najlepszą dekompozycję szeregową tej funkcji

Tablica 1.41

	$x_1$	$x_2$	$x_3$	$x_4$	$x_5$	$y_1$	$y_2$	$y_3$
1	0	0	0	0	0	1	0	1
2	0	0	0	1	0	1	0	0
3	0	0	0	1	1	0	1	1
4	0	0	1	1	1	0	0	0
5	0	1	0	0	0	1	0	0
6	1	0	1	1	1	0	0	1
7	1	1	0	0	0	0	1	1
8	1	1	1	0	0	0	0	0
9	1	1	1	0	1	0	0	1
10	1	1	1	1	1	0	1	0

## 1.6 Bibliografia

- [3.1] Borowik G., Łuba T., Tomaszewicz P.: On the Memory Capacity to Implement Logic Functions, Eds. F. Pichler, R. Moreno-Díaz, A. Quesada-Arencibia, Computer Aided Systems Theory - EUROCAST 2011, vol.6928: Springer-Verlag Berlin Heidelberg 2012, Lecture Notes in Computer Science, pp. 343-350, 2012.
- [3.2] Brayton R., Hachtel G.D., McMullen C., Sangiovanni-Vincentelli A.: *Logic Minimization Algorithms for VLSI Synthesis*. Kluwer Academic Publishers, Boston, 1984.
- [3.3] Brzozowski J. A., Łuba T.: *Decomposition of Boolean Functions Specified by Cubes*. Journal of Multiple-Valued Logic and Soft Computing, Vol. 9, Old City Publishing, Inc., Philadelphia, pp. 377–417, 2003.
- [3.4] Cong J., Yan K.: *Synthesis for FPGAs with embedded memory blocks*. In: Proc. of the 2000 ACM/SIGDA 8th International Symposium on Field Programmable Gate Arrays, pp. 75 – 82, ACM Press NY, Monterey, California 2000.
- [3.5] Curtis H.A.: *A New Approach to the Design of Switching Circuits*. D. Van Nostrand Company, 1962.
- [3.6] Hartmanis J., Stearns R. E.: *Algebraic Structure Theory of Sequential Machines*. Prentice-Hall, Inc., Englewood Cliffs, N. J, 1966.
- [3.7] Hassoun S., Sasao T., Brayton R. (ed.): *Logic Synthesis and Verification*. Kluwer Academic Publishers, New York 2002.
- [3.8] Hryniewicz E., Kania D.: *Metody syntezy dedykowane dla struktur FPGA typu tablicowego*. Kwartalnik Elektroniki i Telekomunikacji, 50, z. 3, pp. 325-342, 2004.



- [3.9] Kania D.: *Synteza logiczna przeznaczona dla matrycowych struktur programowalnych typu PAL*. Politechnika Śląska. Zeszyty Naukowe. Nr 1619. Gliwice 2004.
- [3.10] Kania D.: *Układy logiki programowalnej. Podstawy syntezy i sposoby odwzorowania technologicznego*. Wydawnictwo Naukowe PWN, Warszawa 2012.
- [3.11] Łuba T.: *Multi-level logic synthesis based on decomposition*. *Microprocessors and Microsystems*. 18, No 8, pp. 429-437, 1994.
- [3.12] Łuba T., Lasocki R., Rybnik J.: *An Implementation of Decomposition Algorithm and its Application in Information Systems Analysis and Logic Synthesis*. In *Rough Sets, Fuzzy Sets and Knowledge Discovery*, W. Ziarko (Ed.). *Workshops in Computing Series*. Springer Verlag, pp. 458-465, 1994.
- [3.13] Łuba T., Selvaraj H., Nowicka M., Kraśniewski A.: *Balanced multilevel decomposition and its applications in FPGA-based synthesis*, in Saucier G., Mignotte A. (ed.), *Logic and Architecture Synthesis*, Chapman&Hall, 1995.
- [3.14] Łuba T.: *Decomposition of Multiple-Valued Functions*. 25th International Symposium on Multiple-Valued Logic. Bloomington, Indiana, pp. 256-261, 1995.
- [3.15] Łuba T., Selvaraj H.: *A General Approach to Boolean Function Decomposition and its Applications in FPGA-based Synthesis*. *VLSI Design, Special Issue on Decompositions in VLSI Design*, Vol. 3, Nos. 3-4, pp. 289-300, 1995.
- [3.16] Łuba T., Moraga C., Yanushkevich S., Opoka M., Shmerko V.: *Evolutionary Multi-Level Network Synthesis in Given Design Style*. In: *Proc. IEEE 30th Int. Symp. on Multiple-Valued Logic*, pp. 253-258, Portland 2000.
- [3.17] Łuba T., Borowik G.: *Synteza logiczna*, Oficyna Wydawnicza PW, Warszawa 2015.
- [3.18] De Micheli G.: *Synthesis and Optimization of Digital Circuits*. McGraw-Hill, New York 1994.
- [3.19] Rawski M., Selvaraj H., Falkowski B.J., Łuba T.: Chapter XII: *Significance of Logic Synthesis in FPGA-Based Design of Image and Signal Processing Systems*, pp. 265–283, w B. Verma, M. Blumenstain (Ed.), *Pattern Recognition Technologies and Applications: Recent Advanced*, 2008.
- [3.20] Sasao T.: *Index Generation Functions, Logic Synthesis for Pattern Matching*, EPFL Workshop on Logic Synthesis & Verification, Dec. 2015
- [3.21] Sasao, T.: *Memory-Based Logic Synthesis*, Springer New York Dordrecht Heidelberg London, 2011.
- [3.22] Selvaraj H., Sapiecha P., Łuba T.: *Functional decomposition and its applications in machine learning and neural networks*. *International Journal of Computational Intelligence and Applications*. World Scientific Publishing Company, Vol. 1, no. 3, pp. 259-271, Imperial College Press, 2001.
- [3.23] Stańczyk U., Cyran K., Pochopień B.: *Theory of logic circuits – volume 1 – Fundamental issues*. Publishers of the Silesian University of Technology, Gliwice 2007.
- [3.24] Stańczyk U., Cyran K., Pochopień B.: *Theory of logic circuits – volume 2 – Circuit design and analysis*. Publishers of the Silesian University of Technology, Gliwice 2007.
- [3.25] Yanushkevich S, Shmerko V.: *Introduction to Logic Design*. CRC Press, 2008.